

Vysoká škola: **strojní a textilní v Liberci**

Katedra: **Pístových strojů**

Fakulta: **strojní**

Školní rok: **1968/1969**

DIPLOMOVÝ ÚKOL

pro **Karla B A Š K A**

odbor **04-1-04 stavba výrobních strojů a zařízení**

Protože jste splnil..... požadavky učebního plánu, zadává Vám vedoucí katedry ve smyslu směrnic ministerstva školství o státních závěrečných zkouškách tento diplomový úkol:

Název tématu: **Návrh pohonu Rootseva dmychadla**

Pokyny pro vypracování:

Na zkoušbaě změřte charakteristiky (t.j. závislost nasátého množství vzduchu na otáčkách) daného Rootseva dmychadla pro různou hodnotu protitlaku a současně s tím změřte i jeho nerovnoměrnost chodu. Na základě získaných výsledků provedte rozber způsobu pohonu dmychadla na moteru a konstrukčně zpracujte způsob nejvhodnější.

Autorské právo se řídí směrnicemi MŠK pro státní závěrečné zkoušky č. p. 115/47. 02-III/2 ze dne 13. července 1960-Vestník MŠK XIII, sešit 24 ze dne 31. 8. 1962 § 19 autorského zákona č. 115/43 Sb.

**VYSOKÁ ŠKOLA STROJNÍ A TEXTILNÍ
Ústřední knihovna
LIBEREC 1, STUDENTSKÁ 5**

✓ 11/1969

S

Rozsah grafických laboratorních prací:

Rozsah průvodní zprávy:

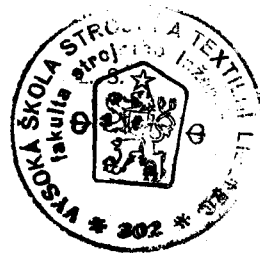
Seznam odborné literatury: **Vykoukal : Dvoudobé motory naftové**

Vedoucí diplomové práce: **Ing. Ladislav Bartoníček**

Konzultanti:

Datum zahájení diplomové práce:

Datum odevzdání diplomové práce: **10. července 1969**



km! —

vedoucí katedry

děkan

OBSAH:

Úvod

str. 2

1.00 Charakteristiky Rootsova dmychadla " 3

2.00 Popis Rootsova dmychadla " 7

3.00 Vlastní návrh Rootsova dmychadla " 11

4.00 Rozbor náhonu dmychadla " 17

5.00 Náhon dmychadla ozubenými koly " 20

6.00 Torzní kmitání náhonu dmychadla ozubenými koly " 36

7.00 Zhodnocení práce " 48

8.00 Seznam použité literatury " 52

Tabulky

Grafická část

ÚVOD:

V poslední době se začínají stále více uplatňovat u nákladních automobilů naftové motory dvoudobé. Důležitou součástí těchto motorů je plnící dmychadlo, které slouží k plnění pracovních válců vzduchem. Nejčastěji používaným dmychadlem u těchto motorů je objemové rotační dmychadlo, zvané Rootsovo. Jeho náhon bývá většinou proveden od klikového hřídele, používá se však také pohon turbinou na výfukové plyny.

Při provedení mechanického pohonu od motoru mohou se pevným připojením dmychadla objevit v provozních otáčkách rezonanční kmitání nebezpečná pro pevnost klikového a spojovacího hřídele. Úkolem této práce je navrhnout pro daný motor dmychadlo a jeho vhodný pohon s ohledem na toto kmitání. Toto je vlastně druhá část diplomové práce. V první části jsou měřeny charakteristiky Rootsova dmychadla používané pro motor ŠKODA D 160, vyráběný v ČKD Hořovice a z nich je vycházeno při návrhu dmychadla daného motoru.

1.00 CHARAKTERISTIKY ROOTSOVA DMYCHADLA

Charakteristiky byly měřeny na dmychadle používané pro motor ŠKODA D 160, vyráběné v ČKD Hořovice. Toto dmychadlo má š rotoru 210 mm a délku 230 mm. Jestliže dále bude uváděno pro zjednodušení "porovnávací dmychadlo", myslí se tím toto dmychadlo.

1.10 Popis měření

Rootsovo dmychadlo bylo umístěno na stojanu zvlášt k tomuto účelu vyrobeném. Pohon byl proveden přes pružnou spojku stejnosměrným dynamometrem MS 22 18 - 4. Dynamometr i stejnosměrný stroj energetického zdroje pracují ve spojení Ward-Leonardově. Rotor uložený ve valivých ložiskách ve štítech tvoří se statorem mechanický celek dynamometru. Výkyv statoru omezený narážkami se přenáší na sklonnou váhu ramenem takové délky, aby údaj váhy byl v kpm. Dynamometr může pracovat ve stavu generátorickém i motorickém v obou smyslech točení. Při zatěžování a zkoušení poháněných strojů pracuje jako motor a je jím zjišťován potřebný příkon. Změna počtu otáček je plynulá.

Na vstupu Rootsova dmychadla byl umístěn plynometr typu "Gaselan", jímž se měřilo množství nasávaného vzduchu. Proteklé množství vzduchu za určitý čas dá se měřit pomocí stopek a počítacího otáček plynometru, který je umístěn přímo na plynometru. Pro přesnější měření proteklého množství bylo však použito fotoodporu, osvětleného přes otvory ve výstupní hřídeli / V žárovkou.

Při otáčení plynometru dopadaly tedy na fotoodpor světelné pulsy. Doba mezi jednotlivými záblesky byla měřena na průmyslovém čítači BM 362, kam byl z fotoodporu signál přiváděn. Fotoodpor byl napájen 90 V ze stejnosměrného zdroje. Na výstupu dmychadla byl umístěn větrník, aby dmychadlo dodávalo do prostředí o stálém tlaku a snížily se tak pulsace ve výtlaku. Výstup z vyrovnávací nádoby byl škrčen klapkou, která byla nastavitelná do libovolné polohy v rozmezí 0 - 150 mm. Změna zdvihu byla provedena šroubem, zajištění polohy maticí.

1.20 Měření charakteristik

Pro zajištění vlastností dmychadla bez ohledu na jeho provozní funkci byla měřena závislost nasávaného množství na otáčkách při různých hodnotách protitlaku.

Rozsah otáček byl volen (600 - 3000) ot/min, interval otáček 200 ot/min.

1.21 Postup měření a měření jednotlivých veličin

Použité přístroje:

1 rtuťový U manometr, 1 stroboskop zn. Oristrob typ 2371/B, 1 průmyslový čítač zn. Tesla BM 362, plynometr zn. "Gaselan", 1 dynamometr zn. MS 2218-4, 1 stejnosměrný zdroj BM 208, 1 rtuťový teploměr.

Postup:

Pro určité otáčky byl postupně měněn protitlak a to od přetlaku $0,05 \text{ kp/cm}^2$ do přetlaku $0,4 \text{ kp/cm}^2$.

a) Nastavení otáček dmychadla:

Regulaci W - L soustrojí lze měnit otáčky plynule. Přesné nastavení bylo provedeno pomocí stroboskopu a průmyslového čítače BM 362.

Dle vztahů:

$$\omega = \frac{\pi n}{30} = 2\pi f$$

$$f = \frac{n}{60} ; \quad T = \frac{1}{f} = \frac{60}{n}$$

kde n jsou otáčky dynamometru

T - doba mezi dvěma záblesky stroboskopu

lze snadno nastavit otáčky dmychadla. Stroboskopem, jenž byl připojen na vstupu čítače, se nastavila na světélkujícím rastru čítače požadovaná doba T . Tím byla na stroboskopu nastavená frekvence světelných pulsů pro žádané otáčky.

Usvětlením rotujícího hřídele dynamometru s nakreslenou značkou regulací W-L se měnily otáčky dynamometru tak dlouho až se nám značka jevila v klidu.

b) Měření přetlaku ve výtlaku:

Byl použit rtuťový U manometr o rozsahu $(0 - 0,5)$ kp/cm². Tlak byl měřen v prostoru vyrovnávací nádoby.

c) Měření množství nasávaného vzduchu:

Je prováděno plynometrem, jak už bylo popsáno dříve.

d) Měření tlakové ztráty v plynometru:

K tomuto účelu je zabudován přímo v plynometru vodní U manometr o rozsahu $(0 - 120)$ mm H₂O.

e) Měření teploty nasávaného vzduchu:

Teplota byla měřena rtuťovým teploměrem, zavěšeným v těsné blízkosti sacího otvoru plynometru. Během měření byla konstantní teplota 24°C.

f) Měření kroutícího momentu:

Měřen na sklonné váze, zabudované v příslušenství dynamometru MS 2218 - 4.

1.30 Výpočet hodnot do tabulky

a) Výpočet příkonu dmychadla:

$$N = \frac{M_k \cdot n}{716,2} \quad [k]$$

b) Výpočet ideálně nasátého množství $Q_{l_{id}}$ [m^3/min]

$$Q_{l_{id}} = 2 \left(\frac{\pi D^2}{4} - F \right) L \cdot n$$

D - vnější Ø rotoru dmychadla

F - průřez rotoru

L - délka rotoru

n - otáčky dmychadla

c) Výpočet objemové účinnosti:

$$\eta_v = \frac{Q_l}{Q_{l_{id}}}$$

Q_l - skutečně nasáté množství

Udává nedokonalost plnění dmychadla vlivem víření vzduchu v sacím hrdle a vnitřních ztrát netěsností.

1.40 Dodatek k naměřeným charakteristikám

Počínaje otáčkami 2200 ot/min nemohly být měřeny charakteristiky v plném rozsahu proti tlaku (0,05 - 0,4) kp/cm² pro závadu na budiči dynamometru MS 2218 - 04, který tak nemohl dodávat dmychadlu potřebný příkon.

Tabulky a jednotlivé závislosti jsou uvedeny v příloze.

2.00 POPIS ROOTSOVA DMYCHADLA

Rootsovo dmychadlo je nejčastěji používaným objemovým dmychadlem u dvoudobých naftových motorů. Od ostatních dmychadel se liší tím, že tlak se nevytváří přímo v dmychadle, nýbrž až ve výtlačném potrubí, což je příčinou značného hluku. Dodávka vzduchu je prakticky přímo úměrná otáčkám. Vlastní dmychadlo nemá žádné vzájemně se troucí části. Nevýhodou je poměrně malá účinnost, která je závislá na vůli mezi rotory a skříní a na vůli mezi zuby.

Mavřené Rootsovo dmychadlo se skládá z vlastní skříně odlité z hliníku. Skříně je žebrovány z důvodu částečného odvodu tepla. Na obou stranách skříně jsou mezistěny, které slouží k uložení rotorů dmychadla. Čela jsou uzavřena víky. Tříkrídle rotory se zuby ve tvaru evolventy, vyrobeny z hliníku, jsou přímo nality na ocelový

hřídel.

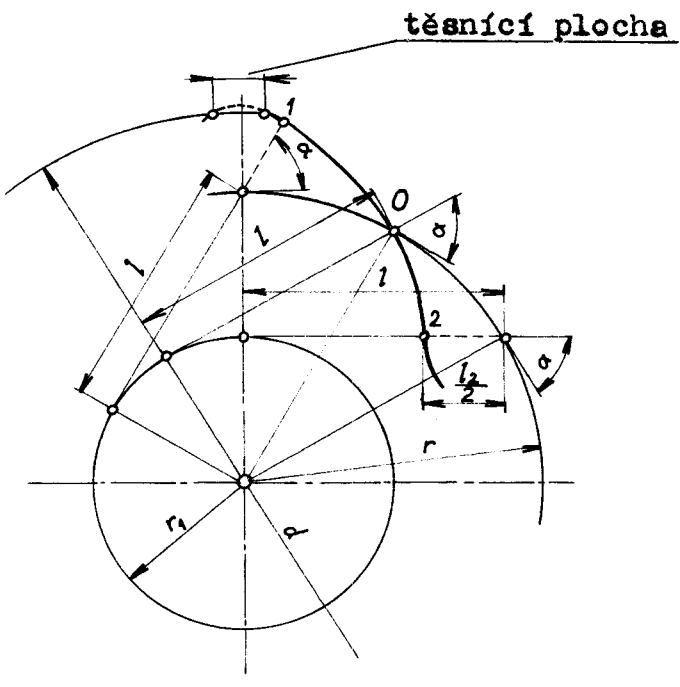
Zuby rotorů nikdy nepřijdou do záběru a je mezi nimi určitá výle. Vlastní pohon rotorů zajišťuje spřažená ozubená kola s převodem 1 : 1, umístěná ne jedné straně dmychadla. Tato ozubená kola mají pro menší hlučnost a rovnoměrnější chod šikmé ozubení. Rotory jsou uloženy ve valivých ložiskách. Mazání je provedeno rozstříkem oleje, které obstarávají na jedné straně dmychadla ozubená kola a na druhé straně rozstříkovací kroužek. Olej je nalit v předním a zadním víku a jeho výška se kontroluje zátkou. Aby se olej nedostal ve větší míře do prostoru vlastního dmychadla, jsou za ložisky umístěny dva pístní kroužky.

Rotory se musí pohybovat ve skříni s výlí. Radiální výle rotorů proti skříni je 0,2-0,26 mm. Osová (axiální) výle rotorů ve skříni je 0,25 - 0,35 mm. O výlích platí, že čím jsou větší tím více zhoršují objemovou účinnost dmychadla. Na druhé straně musí být dostatečné, aby nedošlo k zadírání a k dotyku jednotlivých ozubů. Ke zmenšení hluku dmychadla vznikajícího pulsací dodávaného vzduchu je nasávací a výtlacný otvor proveden šikmý. Na hluk má vliv i obvodová rychlosť rotorů a proto je účelné volit ji co nejmenší. Pokud možno, nemá být větší než 40 m/s. V našem případě je maximální obvodová rychlosť, jak je dále uvedeno, 37,5 m/s.

Dmychadlo pracuje takto: vzduch ze sacího potrubí zaplní prostor mezi dvěma sousedními křídly rotoru. Během otáčení přesouvá se v prostoru mezi křídly rotoru dané množství vzduchu, až se rotor natočí tak, že dojde ke spojení s výtlacným potrubím. Při dalším otáčení zasouvá se do prosto-

ru mezi křídly jednoho rotoru křídlo rotoru druhého a vytlačuje tak vzduch, který zde byl, do výtlačného potrubí.

Při návrhu rotoru dmychadla je nutno určit profil křídla. Za profil křídla se volí evolventa a pak je nutné vycházet při návrhu z těchto základních rozměrů (obr.1).



obr.1

Vnější průměr rotoru d omezuje obvod rotoru. Pro vytvoření evolventy je směrodatná roztečná kružnice r , základní kružnice r_1 a úhel záběru α . Odvalením tvořící přímky po základní kružnici se vytváří evolventa boku zuba. Bok zuba se skládá jednak z evolventy mezi body 1 a 2, jednak z oblouků o poloměru $\frac{r_2}{2}$, jejichž střed leží na roztečné kružnici. Délka oblouku základní kružnice, z níž byl evolventní oblouk odvinut, se rovná délce záběru. Délka záběru jednoho zuba

při stejně velkých rotorech je půlena centrálním bodem O , který leží na průsečíku evolventního oblouku s roztečnou kružnicí. Tímto bodem prochází i tečna vedená k základní kružnici. Úhel sevřený touto tečnou a tečnou k roztečné kružnici v téžm bodě je úhel záběru. Délka tečny k základní kružnici mezi bodem dotyku a průsečíkem s roztečnou kružnicí O je dána rovnicí:

$$l = r \cdot \sin \alpha$$

Tvořící přímka má tuto délku pouze v uvedené poloze, v ostatních polohách je větší nebo menší. Největší je při průchodu bodem l .

Poloměr roztečné kružnice r se určí ze vztahu:

$$r = \frac{\frac{D}{2}}{\frac{1 + \pi \cos \alpha}{2i}}$$

i - počet křídel rotoru.

Poloměr základní kružnice:

$$r_1 = r \cdot \cos \alpha$$

Z předchozích úvah vyplývá největší možná délka záběru při stejně velkých kolech:

$$l_2 = \frac{\pi r \cdot \cos \alpha}{i}$$

Aby se zuby rychle neopotřbovaly, musí být poloviční délka záběru nanejvýše stejná jako délka tečny základní kružnice mezi bodem dotyku a průsečíkem s roztečnou kružnicí O , takže platí:

$$\frac{l_2}{2} = \frac{\pi r \cdot \cos \alpha}{2i} \leq r \cdot \sin \alpha$$

$$\operatorname{tg} \alpha \geq \frac{\pi}{2i}$$

Hodnota $\operatorname{tg} \alpha$ je tedy podmínkou reálnosti řešení.
Provedou-li se zaoblení o poloměru $\frac{l_2}{2}$ z bodů 1 a 2 evolventy, dojde k tomu, že

$$r + \frac{l_2}{2} > \frac{D}{2}$$

Tento vztah je rovněž podmínkou reálnosti řešení, neboť jinak by nebyla žádná těsnící plocha mezi obvodem rotoru a skříní dmychadla. Znamená to, že vrchol zuba je zaoblen kružnicí o průměru D, která protne oblouk o poloměru $\frac{l_2}{2}$.

3.00 VLASTNÍ NÁVRH ROOTSOVA DMYCHADLA

Návrhované Rootsovo dmychadlo je určené pro dvoudobý naftový osmiválcový motor do V o obsahu $13,8 \text{ dm}^3$ a otáčkách 1800 ot/min.

3.10 Volba a výpočet hlavních parametrů.

a) Obsah motoru / m^3/min /

$$\begin{aligned} V_m &= V \cdot n = 0,0138 \cdot 1800 = \\ &= 24,8 \text{ m}^3/\text{min} \end{aligned}$$

kde V je obsah motoru v / m^3 /

n jsou otáčky motoru

b) Přebytek vzduchu zvolen ($\mu = 1,3$)

c) Předpokládaný plnící tlak $p_{D_2} = 1,25 \text{ kp/cm}^2$

Tento tlak byl pro 8 plnících kanálů $\varnothing 30\text{mm}$
odečten z grafu v knize -Vykoukal:Dvoudobé
motory vozidlové-.

Předpokládaný tlak v sáni dmychadla $p_{D_1} =$
 $= 0,99 \text{ kp/cm}^2$ (tlaková ztráta ve filtru)

d) Množství, které musí dmychadlo dodat:

$$V_{D_2} = V_m \cdot \mu = 24,8 \cdot 1,3 = 32,2 \text{ m}^3/\text{min} = \\ = 0,536 \text{ m}^3/\text{s}$$

Kdyby bylo použito k plnění daného motoru porovnávacího dmychadla, bylo by potřeba, aby mělo otáčky asi 5000 ot/min , jak vyplývá z naměřených charakteristik. Tato hodnota je moc velká, proto navržené dmychadlo bude muset být v určitém poměru větší. Průměr rotoru a otáčky jsou přitom vázány tak, aby obvodová rychlosť rotoru dmychadla nebyla větší než 40 m/s .

e) Volba rozměru dmychadla.

Po předběžném výpočtu byl zvolen \varnothing rotoru $D = 230 \text{ mm}$ a délka $b = 380 \text{ mm}$. Ze vztahů v kapitole 2 je pro úhel záběru 28° poloměr roztečné kružnice:

$$r = \frac{\frac{D}{2}}{1 + \frac{\pi \cos \alpha}{2i}} = \frac{\frac{230}{2}}{1 + \frac{\pi \cdot 0,884}{2 \cdot 3}} = 78,70 \text{ mm}$$

poloměr základní kružnice:

$$r_1 = r \cdot \cos \alpha = 78,70 \cdot 0,884 = 69,51 \text{ mm}$$

dále musí být splněna podmínka:

$$\tan \alpha \geq \frac{\pi}{2i}$$

V našem případě je po dosazení $0,532 > 0,524$, tedy tato podmínka je splněna.

Detailní výkres rotoru je v příloze.

f) Volba objemové účinnosti.

Objemová účinnost η_v porovnávacího dmychadla je pro 3200 ot/min a přetlak $0,25 \text{ kp/cm}^2$ asi $0,76 - 0,77$.

Protože navrhované dmychadlo bude větší, předpokládám také horší objemovou účinnost. Volím tedy $\eta_v = 0,75$

g) Vztah mezi dodávaným a nasávaným množstvím dmychadla.

Z podmínky kontinuity dodávaného množství a pro poměry v dmychadlech platí:

$$\rho_{D_1} \cdot v_{D_1} = \rho_{D_2} \cdot v_{D_2} = \text{konst}$$

kde v_{D_2} / m^3/s ; m^3/min / je objemové množství vzduchu dodávané dmychadlem

v_{D_1} / m^3/s ; m^3/min / je objemové množství vzduchu nasávané dmychadlem

ρ_{D_1} / kg/m^3 / měrná hmota nasávaného vzduchu

ρ_{D_2} / kg/m^3 / měrná hmota stlačeného vzduchu

Ze stavových rovnic vyplývá:

$$\rho_{D_1} = \frac{P_{D_1}}{RT_{D_1}} = \frac{9900}{29,27 \cdot 303} = 1,12 \text{ kg/m}^3$$

$$\rho_{D_2} = \frac{P_{D_2}}{RT_{D_2}} = \frac{12500}{29,27 \cdot 328} = 1,30 \text{ kg/m}^3$$

kde R / kpm/kg[°]K / - plynová konstanta pro vzduch; $R = 29,27$

T_{D_1} / °K / - absolutní teplota nasávaného vzduchu; předpokládám $T_{D_1} = 303^{\circ}$ K

T_{D_2} / °K / - absolutní teplota vzduchu dodávaného dmychadlem

Pro teplotu T_{D_2} platí:

$$T_{D_2} = T_{D_1} \left(\frac{p_{D_2}}{p_{D_1}} \right)^{\frac{n-1}{n}} = 303 \left(\frac{1,25}{0,99} \right)^{\frac{1,5-1}{1,5}} = 328^{\circ}\text{K}$$

kde n je exponent polytropy - u dmychadel bez chlazení, na př. Rootsova $n = 1,4 - 1,6$.

Vráťme se zpět k rovnici kontinuity, z níž spočítáme v_{D_1} :

$$v_{D_1} = \frac{\rho_{D_2}}{\rho_{D_1}} \cdot v_{D_2} = \frac{1,3}{1,12} \cdot 32,2 = 37,4 \text{ m}^3/\text{min} = 0,622 \text{ m}^3/\text{s}$$

pro v_{D_1} se dá dále psát:

$$v_{D_1} = 2 \left(\frac{\pi D^2}{4} - F \right) b \cdot n_D \cdot \eta_v / \text{m}^3/\text{min} /$$

kde $2 \left(\frac{\pi D^2}{4} - F \right) b$ je teoreticky nasáty objem za 1 otáčku

D - vnější Ø rotoru dmychadla / m /

F - plocha rotoru / m² / byla zjištěna graficky

b - délka rotoru / m /

n_D - otáčky dmychadla / 1/min /

η_v - objemová účinnost; $\eta_v = 0,75$

h) Výpočet otáček:

Z výše uvedené rovnice se spočítají otáčky dmychadla pro potřebné dodávané množství:

$$n_D = \frac{v_{D_1}}{2\left(\frac{\pi D^2}{4} - F\right)b \eta_v} =$$

$$= \frac{37,4}{2\left(\frac{\pi \cdot 0,23^2}{4} - 0,0208\right) \cdot 0,38 \cdot 0,75} = 3120 \text{ ot/min}$$

i) Kontrola obvodové rychlosti rotoru.

$$v = \frac{\pi dn}{60} = \frac{\pi \cdot 0,23 \cdot 3120}{60} = 37,5 \text{ m/s}$$

Tato obvodová rychlosť je ještě v dovolených mezích.

3.20 Výpočet příkonu dmychadla

Pro příkon dmychadla lze psát:

$$P_D = M_D \cdot \frac{H_{ad}}{75 \cdot \eta_D}$$

kde M_D / kg/s / - hmotové množství dodávané dmychadlem; $M_D = \rho_{D_2} \cdot v_{D_2}$

H_{ad} - adiabatická práce dmychadla;

$$H_{ad} = \frac{k}{k-1} RT_{D_1} \left[\left(\frac{P_{D_2}}{P_{D_1}} \right)^{\frac{k-1}{k}} - 1 \right]$$

k - exponent adiabaty; pro vzduch $k = 1,4$

η_D - celková účinnost dmychadla;

$$\eta_D = \eta_v \cdot \eta_m \cdot \eta_{th}$$

η_m - mechanická účinnost dmychadla

v literatuře je uváděna mechanická účinnost pro tento typ dmychadla 0,95 i více.

Volím $\eta_m = 0,95$

$$\eta_{th} = \frac{k-1}{k} \cdot \frac{\left(\frac{p_2}{p_1}\right)^{\frac{k-1}{k}} - 1}{\frac{p_2}{p_1} - 1} \text{ je teoretická}$$

účinnost. Pro poměr tlaků $\frac{p_2}{p_1} = 1,263$ je

$$\eta_{th} = 0,92$$

η_v - objemová účinnost

$$P_D = 1,3 \cdot 0,536 \cdot 3,5 \frac{29,27 \cdot 303}{75} \frac{1,263}{1,4}^{\frac{1,4-1}{1,4}} - 1 = \\ = 30,03 \approx 30 / k /$$

4.00 ROZBOR NÁHONU DMYCHADLA

Mechanickým připojením dmychadla ke spalovacímu motoru mohou se v provozních otáčkách objevit resonanční kmitání, která by se jinak u samotného motoru nevyskytla. Proto se snažíme ovlivnit vlastní frekvenci soustavy motor-dmychadlo tak, aby tyto resonanční otáčky ležely mimo provozní oblast.

Vlastní frekvenci torzně kmitající soustavy můžeme v zásadě ovlivnit několika způsoby:

- 1) změnou torzní tuhosti hřídelů systému
- 2) změnou velikosti a rozložením setrvačných hmot
- 3) rozšířením počtu stupňů volnosti soustavy připojením dalšího členu
- 4) kombinací některých z uvedených případů

V případě náhonu Rootsova dmychadla je nevhodnější a také nejpoužívanější ovlivnění vlastní frekvence změnou torzní tuhosti hřídelů systému a to zařazením pružného elementu mezi motor a dmychadlo. Tím snižujeme jednouzlový vlastní kmitočet soustavy, aby resonanční kmitání hlavní harmonické složky leželo pod provozním rozsahem.

Za účelem splnění tohoto požadavku může být k náhonu použito několika způsobů. Jsou to na př. pohon ozubenými koly s pružnou spojkou mezi motorem a dmychadlem, pohon klinovými řemeny, hydraulický pohon, pohon torzním hřídelem a pod.

Pro náhon dmychadla daného motoru by bylo konstrukčně nejvhodnější použití klinových řemenů nebo ozubených kol s pružnou spojkou. Bude proto v dalších kapitolách proveden rozbor těchto případů.

Použití pružných elementů poskytuje kromě možnosti potlačit, resp. odstranit nebezpečné rezonanční kmitání ještě tu výhodu, že chrání hřídelová vedení před poškozením tím, že zachycuje část přebytečné energie a dočasně ji mění v akumulovanou potenciální energii, je-li soustava vyrobena náhlé změně režimu (např. náhlé zastavení jednoho z členů soustavy).

4.10 Pohon dmychadla klínovými řemeny

Pohon klínovými řemeny by byl nejvhodnější ze přední strany motoru. Tah řemenů nesmí však být zachycen přímo na hřídel rotoru, aby se neprohnul, což by mohlo mít za následek zadření rotér ve skříni.

4.11. Výpočet potřebného počtu řemenů:

a) Hodnoty potřebné pro výpočet:

převodový poměr $i = 1,735$; dán poměrem $\frac{n_D}{n_m}$
osová vzdálenost $a = 435$ mm
přenášený výkon $N = 30$ k

b) Návrh průměru řemenic:

$d = 215$ mm ; $D = 374$ mm

Obvodová rychlosť řemenů:

$$v = \frac{\pi dn}{60} = \frac{\pi \cdot 0,215 \cdot 3120}{60} = 35,5 \text{ m/s}$$

c) Úhel opásání:

$$\sin \delta = \frac{D-d}{2a} = \frac{374-215}{2 \cdot 435} = 0,183$$

$$\delta = 10^\circ 30'$$

$$\alpha = 180^\circ - 2\delta = 180^\circ - 21^\circ = 159^\circ$$

volím největší možnou šířku řemene pro Ø

řemenice 215 mm b = 22 mm

d) Výkon přenášený jedním řemenem:

$$N_s = N_{180} \cdot \frac{c_1}{c_2} \cdot c_3$$

N_{180} - výkon přenášený jedním klínovým řemennem při úhlu opásání $\alpha = 180^\circ$ a při jmenovitém průměru menší řemenice

$$D_1 \text{ min}$$

c_1 - součinitel pro úhel opásání $\alpha = 180^\circ$

c_2 - součinitel pro krátkodobé přetížení

$$c_3 = \frac{\text{zvolený } \varnothing \text{ menší řemenice}}{\text{minimální } \varnothing \text{ řemenice } D_{1\text{min}}} = \frac{215}{215} = 1$$

ze strojnických tabulek bylo zjištěno:

$$N_{180} = 8,2 / k /$$

$$c_1 = 0,95$$

$$c_2 = 1,2$$

$$N_s = 8,2 \cdot \frac{0,95}{1,2} = 6,5 / k /$$

Požebný počet řemenů:

$$p = \frac{N}{N_s} = \frac{30}{6,5} = 4,6 - k \text{ pohonu by muselo}$$

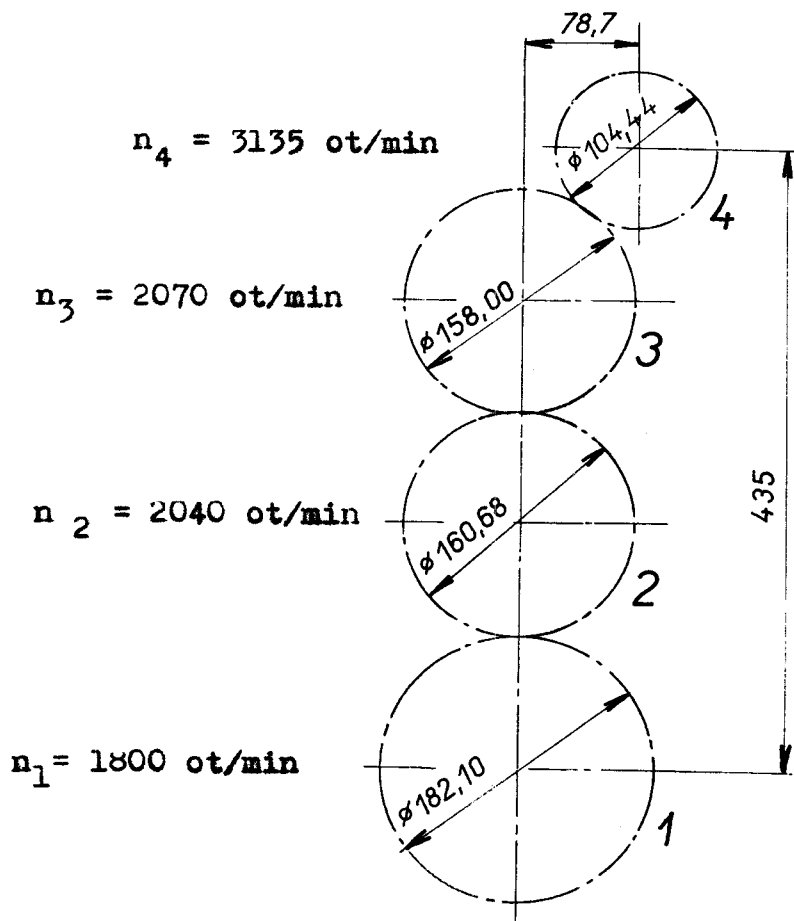
být použito 5 klínových řemenů.

Z uvedeného výpočtu vyplývá, že použití klínových řemenů k náhonu navrženého dmychadla není nevhodnější, protože doporučovaná obvodová rychlosť klínových řemenů je 25-30 m/s, zatím co v našem případě je pro dané průměry řemenic 35,5 m/s. Dala by se snížit zmenšením \varnothing řemenic, avšak za cenu zvýšeného počtu řemenů, tedy muselo by být použito více než 5 řemenů, což je mnoho.

V další kapitole bude tedy proveden návrh náhonu ozubenými koly.

5.00 NÁHON DMYCHADLA OZUBENÝMI KOLY

Navržený náhon dmychadla je proveden ozubenými koly ze zadní strany motoru (strana setrvačníku). Protože se jedná o motor do V, je dmychadlo umístěno mezi rozevřenými válci. Konstrukcí motoru je dána osová vzdálenost mezi klikovým hřídelem a dmychadlem $A = 435$ mm. Potřebnými otáčkami dmychadla je dále určen převodový poměr $i = 1,735$ do rychla.



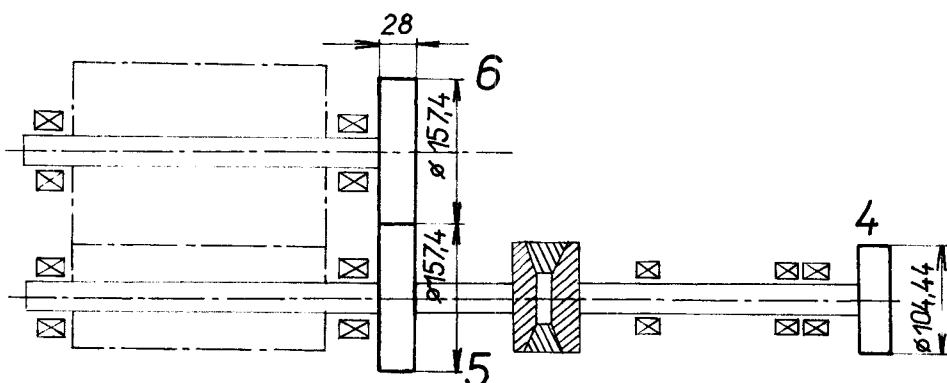
Obr.2

1 kolo na klikovém hřídeli

2,3 mezikola

4 kolo náhonu

Kromě zakreslených kol (1),(2),(3),(4) patří k náhonu ještě kola (5),(6). Kolo (4) je na hřídeli, který je spojen pomocí pružné spojky s hřídelem Rootsova dmychadla. Návrh pružné spojky je proveden v kapitole 6. Na tomto hřídeli je ozubené kolo (5), které je v záběru s kolem (6) druhého rotoru, jak je patrné z obrázku 3.



obr.3

5.10 Ozubená kola náhonu - rozměry

Kola náhonu i ozubená kola ve vlastním dmychadle jsou provedena se šikmými zuby. Normální modul zubů $m_n = 2,5 \text{ mm}$, úhel záběru $\alpha = 20^\circ$.

Ostatní hodnoty:

Hodnoty	Ozubená kola					
	(1)	(2)	(3)	(4)	(5)	(6)
počet zubů	68	60	59	39	59	59
úhel sklonu β	$20^\circ 50'$	$20^\circ 50'$	$20^\circ 50'$	$20^\circ 50'$	$20^\circ 30'$	$20^\circ 30'$
modul m_n /mm/	2,5	2,5	2,5	2,5	2,5	2,5
šířka zubů /mm/	30	30	30	30	28	28

Celkový převod mezi motorem a dmychadlem:

$$p = \frac{n_4}{n_1} = \frac{3135}{1800} = 1,740 \text{ ,což vyhovuje}$$

Na ozubená kola bude použito materálu 12020·4

Hodnoty tohoto materiálu:

$$\sigma_{pt,jádra} = 55 \text{ kp/mm}^2$$

$$\sigma_{pt,povrchu} = 200 \text{ kp/mm}^2$$

$$\sigma_{c,povrchu} = 60 \text{ kp/mm}^2$$

$$\sigma_{k,povrchu} = 140 \text{ kp/mm}^2$$

$$\sigma_{pt} = \frac{\sigma_{pt,j} + \sigma_{pt,p}}{2} = \frac{55+200}{2} = 128 \text{ kp/mm}^2$$

$$\sigma_{pt_o} = 1,2 \cdot \sigma_{pt} = 152 \text{ kp/mm}^2$$

$$\sigma_{c_o} = 50 \text{ kp/mm}^2$$

$$\sigma_{k_o} = 104 \text{ kp/mm}^2$$

5.20 Pevnostní kontrola ozubených kol

Ozubená kola přenášejí výkon odvedený dmychadlem, který činí 30 /k/. Nejvíce je namáháno kolo nejmenšího průměru (tedy kolo 4), jak vyplývá z níže uvedeného vztahu pro kontrolu na otlačení. Bude kontrolováno tedy jenom toto kolo.

Obvodová síla na kole (4):

Přenášený kroutící moment bude:

$$M_k = 71620 \frac{N}{n} = 71620 \frac{30}{3135} = 690 \text{ kpcm}$$

Obvodová síla:

$$P_o = \frac{M_k}{r} = \frac{690}{5,2} = 135 \text{ kp}$$

Normálná síla působící na zub:

$$P_n = \frac{P_0}{\cos \beta \cdot \cos \alpha} = \frac{135}{0,934 \cdot 0,94} = 155 \text{ kp}$$

5.21 Kontrola zubů na otlačení

Hertzův tlak: $p_H = \sqrt{0,36 \frac{P_n \cdot E_s}{b \cdot R_s}}$

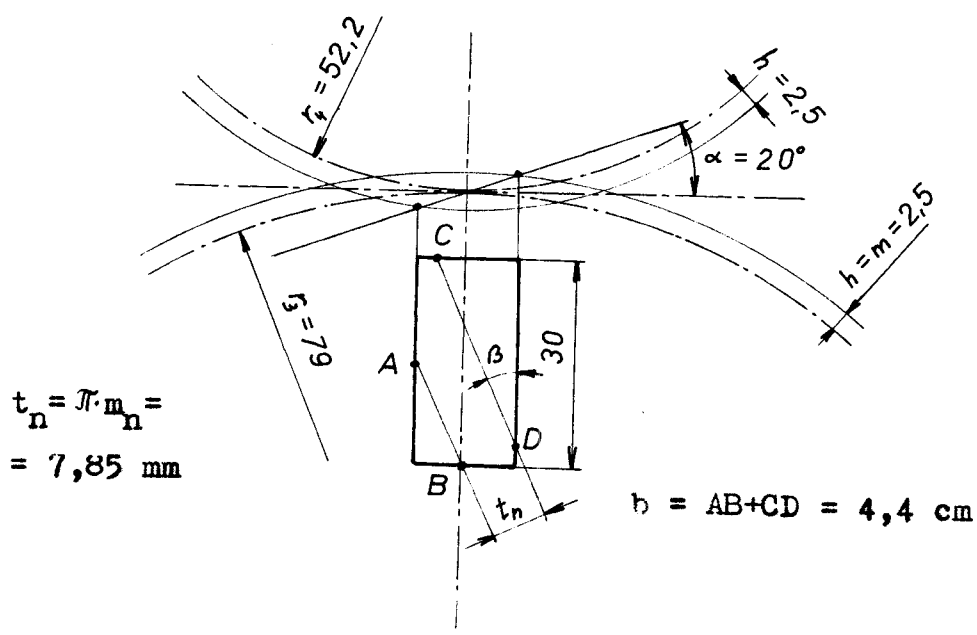
E_s - střední modul pružnosti

$$E_s = 2,1 \cdot 10^6 \text{ kp/cm}^2$$

R_s - střední poloměr /cm/

b - délka spolužabírajících zubů /cm/

Délka zubů v záběru b zjistíme ze záběrového pole daných ozubených kol (4) a (3):



obr.4

Střední poloměr spolužabírajících zubů R_s vypočteme ze vztahu:

$$\frac{1}{R_s} = \frac{1}{2} \left(\frac{1}{Q_4} + \frac{1}{Q_3} \right); \quad Q = r \cdot \sin \alpha$$

kde r - roztečný poloměr kola

α - úhel záběru

$$Q_3 = 7,9 \cdot 0,34 = 2,7 \text{ cm} ; Q_4 = 5,2 \cdot 0,34 = 1,75 \text{ cm}$$

$$\frac{1}{R_s} = 0,5(0,37+0,57) = 0,47 \Rightarrow R_s = 2,1 \text{ cm}$$

Hertzův tlak:

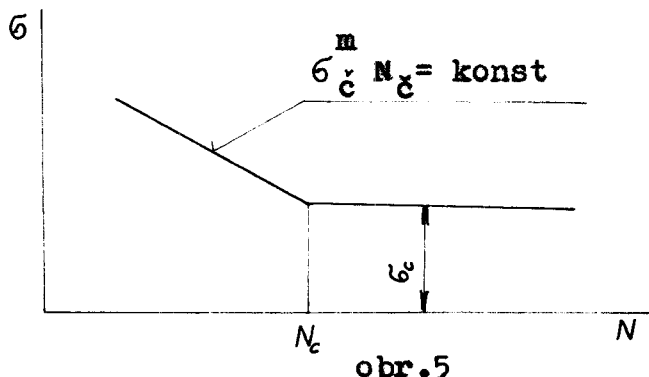
$$p_H = \sqrt{0,36 \frac{P_n \cdot E_s}{b \cdot R_s}} = \sqrt{0,36 \frac{155 \cdot 2,1 \cdot 10^6}{4,4 \cdot 2,1}} = \\ = 3650 \text{ kp/cm}^2 = 36,5 \text{ kp/mm}^2$$

Z Hertzova tlaku spočítáme hlubinné napětí, vznikající pod povrchem:

$$\sigma_{hl} = 0,6 \cdot p_H = 0,6 \cdot 36,5 = 22 \text{ kp/mm}^2$$

Protože zatížení zubů je míjivé (hodnota napětí pro otlačení se mění od 0 do 22 kp/mm^2), budeme zub kontrolovat na časovou pevnost, tzn. tak, aby zub vydržel předpokládaný počet zatížení během určité doby.

Při výpočtu je nutno vycházet z Wöhlerovy křivky, která má tento tvar:



obr.5

kde σ_c je mez únavy daného materiálu; $N_c = 6 \cdot 10^6$ (pro kalené ocele).

Při menším počtu zatěžovacích cyklů (dle požadované trvanlivosti) než N_c můžeme zvýšit namáhání nadmez únavy σ_c (oblast časové pevnosti).

Při pravidelném provozu, za jaký můžeme počítat i náhon dmychadla, můžeme pro dovolené namáhání psát z Wöhlerovy křivky rovnici:

$$\sigma_{ad}^m \cdot N_p = \sigma_{cp}^m \cdot N_c$$

kde σ_{ad} amplituda dovoleného namáhání

N_p - počet provozních cyklů

m - exponent, který u kalených ocelí je pro tlak $m = 6$

Výpočet počtu provozních cyklů N_p :

$$N_p = 60 \cdot n \cdot h = 60 \cdot 2400 \cdot 5000 = 7,15 \cdot 10^8$$

h - počet provozních hodin (uvažuji 5000 h)

n - otáčky / l/min / (předpokládám, že motor bude pracovat většinu času asi při 75% n_{max} , tedy $n = 2400$ ot/min)

Výpočet dovoleného napětí:

$$\sigma_{ad} = \sqrt[6]{\frac{\sigma_{cp}^m N_c}{N_p}} = \sqrt[6]{\frac{50^6 \cdot 6 \cdot 10^6}{7,15 \cdot 10^8}} = 25,5 \text{ kp/mm}^2$$

$$\sigma_{hl} = 22 \text{ kp/mm}^2 ; \quad \sigma_{ahl} = \frac{\sigma_{hl}}{2} = 11 \text{ kp/mm}^2$$

kde σ_{ahl} je amplituda σ_{hl}

Bezpečnost v otlačení:

$$S_D = \frac{\sigma_{ad}}{\sigma_{ahl}} = \frac{25,5}{11} = 2,32 \dots \text{vyhovuje}$$

5.22 Kontrola zubů na ohyb (ulomení)

Maximální ohybové napětí vznikající v patě zuba je dáno vztahem:

$$\sigma_o = 2,7 \frac{P_n}{b \cdot m} = 2,7 \frac{155}{44 \cdot 2,5} = 4 \text{ kp/mm}^2$$

$$\sigma_{ao} = \frac{\sigma_o}{2} = 2 \text{ kp/mm}^2$$

Kontrola na časovou pevnost:

$$\sigma_{ad}^m \cdot N_p = \sigma_{co}^m \cdot N_c$$

kde $\sigma_{co} = 50 \text{ kp/mm}^2$; pro ohyb $m = 9$

$$\sigma_{ad} = \sqrt[9]{\frac{50^9 \cdot 6 \cdot 10^6}{8,6 \cdot 10^8}} = \sqrt[9]{\frac{11,7 \cdot 10^{21}}{8,5 \cdot 10^8}} = 13,3 \text{ kp/mm}^2$$

Bezpečnost v ohybu:

$$S_o = \frac{\sigma_{ad}}{\sigma_{ao}} = \frac{13,3}{2} = 6,65 \dots \text{ vyhovuje}$$

5.30 Výpočet ložisek

Uložení ozubených kol náhonu Rootsova dmychadla je patrné z výkresu náhonu v příloze. Ložiska jsou namáhána silami od ozubených kol. Jsou to: obvodová síla P_o , radiální síla P_r a axiální síla P_a . Všechna ložiska jsou počítána na životnost 5000 hod.

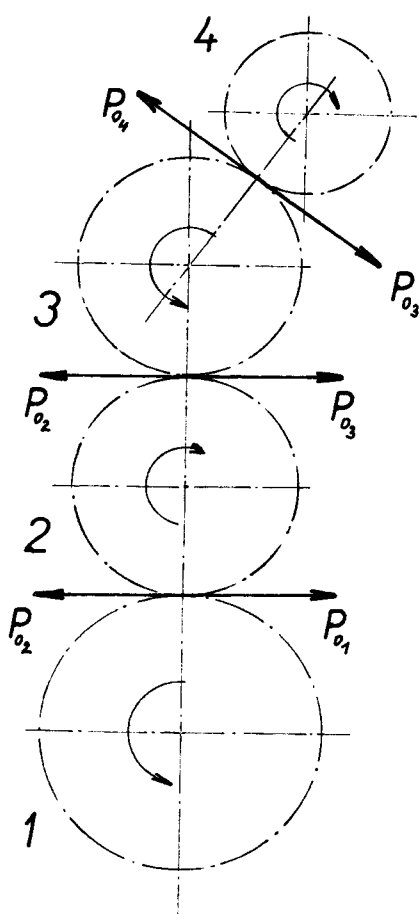
Velikosti sil P_o, P_r, P_a :

$$P_o = 135 \text{ kp} - \text{vypočtena na str.22}$$

$$P_a = P_o \cdot \operatorname{tg} \beta = 135 \cdot \operatorname{tg} 20^\circ 50' = 52 \text{ kp}$$

$$P_r = P_n \cdot \sin \alpha = \frac{P_o \cdot \operatorname{tg} \alpha}{\cos \beta} = 135 \cdot \frac{0,364}{0,935} = 53 \text{ kp}$$

Schema obvodových sil, působící na jednotlivá kola:



obr.6

P_{o_1} obvodová síla působící na kolo (1)

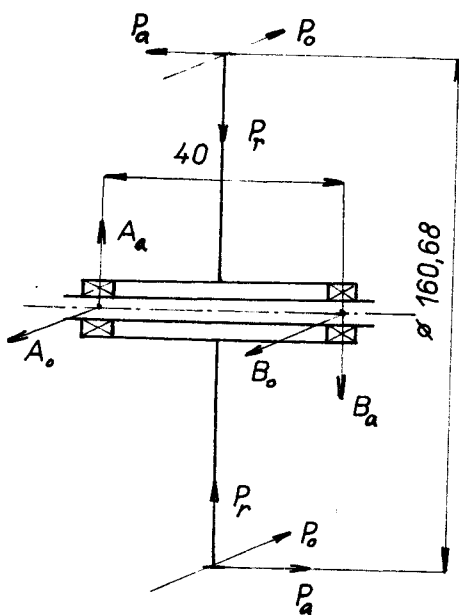
P_{o_2} obvodová síla působící na kolo (2)

P_{o_3} obvodová síla působící na kolo (3)

P_{o_4} obvodová síla působící na kolo (4)

5.31 Návrh ložisek kola (2)

Rozklad sil



obr.7

A_o reakce v ložisku A od síly P_o

B_o reakce v ložisku B od síly P_o

A_a reakce v ložisku A od síly P_a

B_a reakce v ložisku B od síly P_a

Velikost reakcí v ložiskách od sil P_o :

$$A_o = B_o = P_o = 135 \text{ kp}$$

Velikost reakcí v ložiskách od sil P_a :

$$P_a \cdot 160,68 = A_a \cdot 40$$

$$A_a = B_a = \frac{P_a \cdot 160,68}{40} = \frac{52 \cdot 160,68}{40} = 208 \text{ kp}$$

Výsledné reakce v ložiskách:

$$A = B = \sqrt{135^2 + 208^2} = 245 \text{ kp}$$

Návrh ložisek.

Předpokládám, že motor bude pracovat většinu provozních hodin asi při 75% n_{max} , tedy $n_2 = 0,75 \cdot 2040 = 1530$ ot/min. Ložiska navrhoji, jak už bylo výše uvedeno na životnost 5000 hod. Při výpočtu ložisek se používá rovnice trvanlivosti:

$$L_h = \left(\frac{C}{P} \right)^m \cdot \frac{10^6}{60 \cdot n} \cdot \left(\frac{C}{P} \right)^m \cdot \frac{16666}{n}$$

kde L_h - trvanlivost ložiska v hodinách

n - otáčky (ot/min)

C - dynamická únosnost v kp

$$P = X \cdot v \cdot F_r + Y \cdot F_a$$

X, Y - koeficienty závisející na axiálním zatížení ložiska

F_r - radiální zatížení ložiska

F_a - axiální zatížení ložiska

$v = 1$ při obvodovém zatížení vnitřního kroužku

$1,2$ při obvodovém zatížení vnějšího kroužku

m - mocnitol závisející na konstrukci ložiska; pro kuličková ložiska $m = 3$

Z katalogu ložisek byly vyhledány pro zatížení ložisek kola (2) tyto hodnoty:

$$X = 1 ; Y = 0 ; v = 1,2$$

Zatížení ložiska P tedy bude:

$$P = 1,2 \cdot F_r = 1,2 \cdot 245 = 294 \text{ kp}$$

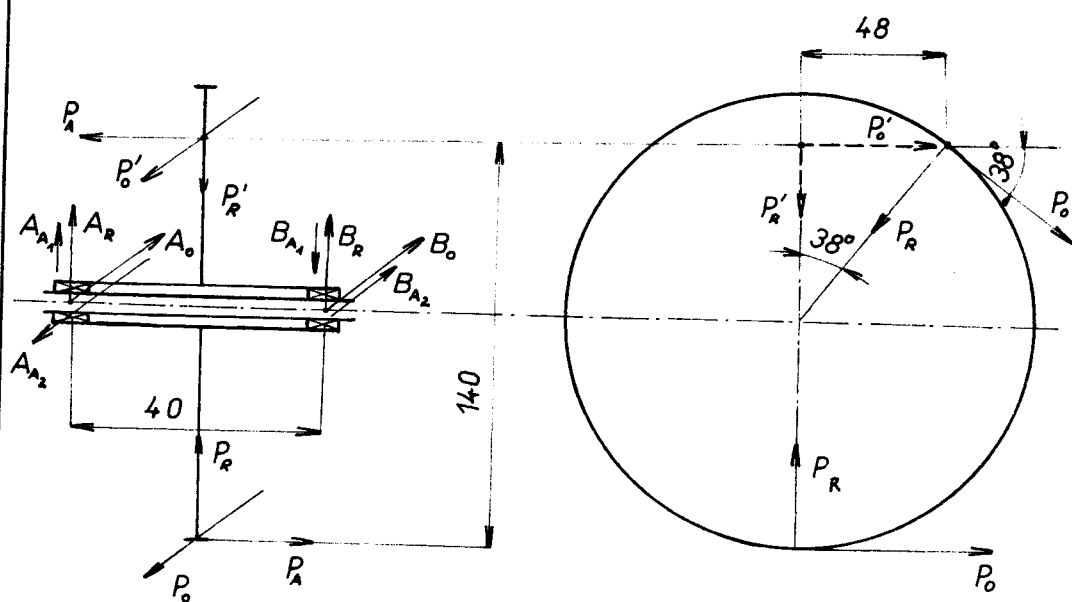
Dynamická únosnost (z výše uvedené rovnice):

$$C = P \sqrt[3]{L_h \frac{n}{16666}} = 294 \cdot \sqrt[3]{5000 \frac{1530}{16666}} = 2260 \text{ kp}$$

Volím jednořadá kuličková ložiska s kosouhlým stykem typu 72 07, která mají dynamickou únosnost $C = 2400 \text{ kp}$.

5.32 Návrh ložisek kola (3)

Schema rozkladu sil



obr.8

$$P'_r = P_r \cdot \cos 38^\circ + P_o \cdot \sin 38^\circ = 53.0,788 + 135.0,615 = \\ \doteq 125 \text{ kp}$$

$$P'_o = P_o \cdot \cos 38^\circ - P_r \cdot \sin 38^\circ = 135.0,788 + 53.0,615 = \\ \doteq 73 \text{ kp}$$

Velikost reakcí v ložiskách od sil P_o a P'_o :

$$A_o = B_o = \frac{P_o + P'_o}{2} = \frac{135+73}{2} = 104 \text{ kp}$$

Velikost reakcí v ložiskách od sil P_r, P'_r :

$$A_r = B_r = \frac{P'_r - P_r}{2} = \frac{125 - 53}{2} = 36 \text{ kp}$$

Velikost reakcí v ložiskách od síly P_a :

$$P_a \cdot 140 = A_{a_1} \cdot 40 \Rightarrow A_{a_1} = B_{a_1} = \frac{52 \cdot 140}{40} = 182 \text{ kp}$$

$$P_a \cdot 48 = A_{a_2} \cdot 40 \Rightarrow A_{a_2} = B_{a_2} = \frac{P_a \cdot 48}{40} = 62 \text{ kp}$$

Výsledná reakce v ložisku (A):

$$A = \sqrt{(A_{a_1} + A_r)^2 + (A_o - A_{a_2})^2} =$$

$$= \sqrt{(182 + 36)^2 + (104 - 62)^2} \doteq 220 \text{ kp}$$

Výsledná reakce v ložisku (B):

$$B = \sqrt{(B_o + B_{a_2})^2 + (B_{a_1} - B_r)^2} =$$

$$= \sqrt{(104 + 62)^2 + (182 - 36)^2} = 218 \text{ kp} \doteq 220 \text{ kp}$$

Návrh ložisek:

Všechny koeficienty jsou shodné jako v předešlém případě, platí proto opět: $P = 1,2 \cdot F_r$

$$\text{Otáčky } n_3 = 0,75 \cdot 2070 = 1540 \text{ ot/min}$$

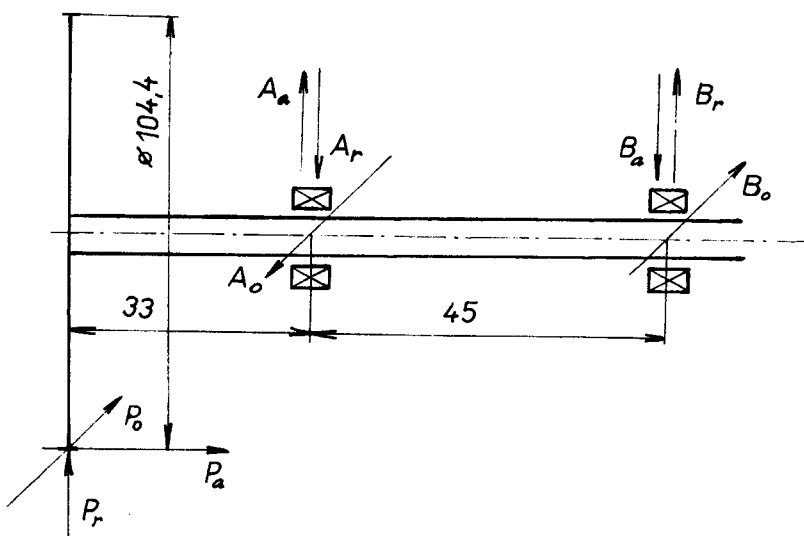
Pro tyto otáčky bude dynamická únosnost ložiska C:

$$C = P \cdot \sqrt[3]{L_h \cdot \frac{n}{16666}} = 1,2 \cdot 220 \sqrt[3]{5000 \frac{1540}{16666}} = 2100 \text{ kp}$$

Volím opět ložiska 7207 s dynamickou únosností C = 2400 kp.

5.33 Návrh ložisek kola (4)

Rozklad sil



obr.9

Velikost reakcí v ložiskách od síly P_o :

$$P_o \cdot 78 - A_o \cdot 45 = 0$$

$$A_o = \frac{P_o \cdot 78}{45} = \frac{135 \cdot 78}{45} = 235 \text{ kp}$$

$$B_o = 235 - 135 = 100 \text{ kp}$$

Velikost reakcí od síly P_r :

$$A_r = \frac{P_r \cdot 78}{45} = \frac{53 \cdot 78}{45} = 92 \text{ kp}$$

$$B_r = 92 - 53 = 39 \text{ kp}$$

Velikost reakcí v ložiskách od síly P_a :

$$P_a \cdot 52,5 = A_a \cdot 45$$

$$A_a = B_a = \frac{52,5 \cdot 52,5}{45} = 60 \text{ kp}$$

Výsledná radiální síla působící na ložisko A:

$$A = \sqrt{(A_r - A_a)^2 + A_o^2} = \sqrt{32^2 + 235^2} \doteq 240 \text{ kp}$$

Výsledná radiální síla působící na ložisko B:

$$B = \sqrt{(B_a - B_r)^2 + B_o^2} = 102 \text{ kp}$$

Návrh ložiska A:

Z katalogu ložisek: $x = 1$; $y = 0$; $v = 1$

tedy $P = F_r = 240 \text{ kp}$

Kolo (4) se bude většinu pracovního času točit přibližně otáčkami $0,75 \cdot 3135 = 2340 \text{ ot/min.}$

Dynamická únosnost ložiska:

$$C = P \cdot \sqrt[3]{L_h \cdot \frac{n}{16666}} = 240 \cdot \sqrt[3]{5000 \cdot \frac{2340}{16,666}} = 2240 \text{ kp}$$

Použiji ložisko 6307. Toto má dynamickou únosnost $C = 2600 \text{ kp}$.

Návrh ložiska B:

Toto ložisko nepřenáší axiální sílu, proto

$x = 1$; $y = 0$

$$P = F_r = 102 \text{ kp}$$

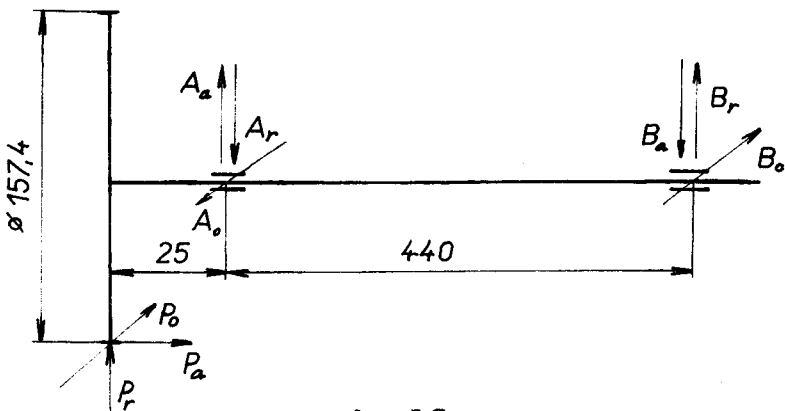
Dynamická únosnost:

$$C = 102 \sqrt[3]{5000 \frac{2340}{1666}} = 900 \text{ kp}$$

Ložisko je velmi málo namáhané z konstrukčních důvodů používám ložisko 6007, které má dynamickou únosnost $C = 1250$.

5.34 Návrh ložisek v dmychadle

Rozklad sil



obr.10

Reakce v ložiskách od síly P_o :

$$P_o \cdot 465 - A_o \cdot 440 = 0$$

$$A_o = \frac{P_o \cdot 465}{440} = 143 \text{ kp}$$

$$B_o = 143 - 135 = 8 \text{ kp}$$

Reakce v ložiskách od síly P_r :

$$A_r = \frac{P_r \cdot 465}{440} = \frac{53 \cdot 465}{440} = 56 \text{ kp}$$

$$B_r = 3 \text{ kp}$$

Radiální reakce v ložiskách od síly P_a :

$$P_a \cdot 78,7 = A_a \cdot 440$$

$$A_a = B_a = \frac{P_a \cdot 78,7}{440} = 10 \text{ kp}$$

Výsledná radiální síla působící na ložisko A:

$$A = \sqrt{(A_r - A_a)^2 + A_o^2} = \sqrt{46^2 + 143^2} = 150 \text{ kp}$$

Výsledná radiální síla působící na ložisko B:

$$B = \sqrt{(B_a - B_r)^2 + B_o^2} = \sqrt{7^2 + 8^2} = 11 \text{ p}$$

Toto ložisko je namáhané malou silou, z konstrukčních důvodů použiji stejného ložiska jako v místě (A).

Návrh ložiska A :

Toto ložisko navrhoji na otáčky 2340 ot/min.
Z konstrukčních důvodů volím ložiska o vnitřním
ø d = 40 mm. Ložisko 6008 o vnitřním ø d = 40
a vnějším ø D = 68 mm má únosnost C = 1320 kp,
což je málo. Proto použiji ložiska 6208, které má
dynamickou únosnost C = 2550 kp.

Trvanlivost ložiska bude pro x = 0,56 ; y = 2,00;
v = 1 .

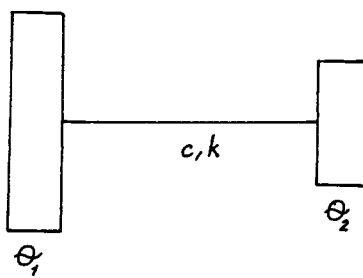
$$L_h = \frac{C}{P} \sqrt[m]{\frac{16666}{n}} = \frac{2550}{190} \sqrt[3]{\frac{16666}{2340}} = 12100 \text{ hod.}$$

6.00

TORZNÍ KMITÁNÍ NÁHONU DMYCHADLA

OZUBENÝMI KOLY

Rootsovo dmychadlo s motorem vytváří torzní soustavu. Protože pružná spojka mezi motorem a dmychadlem má mnohem nižší torzní tuhost než torzní tuhost hřídelů motoru a dmychadla, je možno zanedbat elasticitu hřídelů a rozložení hmot klikového ústrojí. Torzní soustavu lze pak převést na dvouhmotovou (podle obrázku), jejíž hmoty (kotouče) mají momenty setrvačnosti Θ_1 a Θ_2 / kgcm s² /. (Mluvíme-li v dalším pro stručnost o kotoučích, respektive o hmotách Θ_1 nebo Θ_2 , rozumí se tím kotouče s hmotným momentem setrvačnosti Θ_1 nebo Θ_2). Tyto kotouče jsou spojeny pružnou spojkou tuhosti c /kgcm/rad /.



obr.11

Dvouhmotová torzní soustava

- kde Θ_1 - hmotný moment setrvačnosti motoru
 Θ_2 - hmot. moment setrvačnosti dmychadla
 c - tuhost spojky (předpokládá se, že je lineární)
 k - tlumení spojky

6.10 Hmotné momenty setrvačnosti

Hmotné momenty motoru, setrvačníku, ozubených kol náhonu i dmychadla byly zjištěny výpočtem. Uvedu už pouze výsledky. Všechny momenty setrvačnosti budou redukovány na otáčky klikového hřídele.

Použité označení:

- Θ_m - moment setrvačnosti klikového ústrojí
- Θ_s - moment setrvačnosti setrvačníku
- $\Theta_{o_1} \div \Theta_{o_4}$ moment setrvačnosti ozubených kol (1)÷(4)
- Θ_d - moment setrvačnosti dmychadla
- p - převodový poměr; p = 1,74
- index r znamená redukci na klikový hřídel

Zjištěné hmotné momenty setrvačnosti:

$$\begin{aligned}\Theta_m &= 3,6 \text{ kgcm s}^2 \\ \Theta_s &= 61 \text{ kgcm s}^2 \\ \Theta_{o_2} &= 0,1 \text{ kgcm s}^2; \Theta_{o_2r} = \Theta_{o_2} \cdot p^2 = 0,1 \cdot 1,12^2 = \\ &\quad = 0,126 \text{ kgcm s}^2 \\ \Theta_{o_3} &= 0,1 \text{ kgcm s}^2; \Theta_{o_3r} = \Theta_{o_3} \cdot p^2 = 0,1 \cdot 1,14^2 = \\ &\quad = 0,13 \text{ kgcm s}^2 \\ \Theta_{o_4} &= 0,03 \text{ kgcm s}^2; \Theta_{o_4r} = \Theta_{o_4} \cdot p^2 = 0,03 \cdot 1,74^2 = \\ &\quad = 0,09 \text{ kgcm s}^2\end{aligned}$$

Výsledný redukovaný moment setrvačnosti ozubních kol:

$$\begin{aligned}\Theta_{o_r} &\doteq 0,25 \text{ kgcm s}^2 \\ \Theta_d &= 0,964 \text{ kgcm s}^2; \Theta_{dr} = \Theta_d \cdot p^2 = 0,964 \cdot 1,74^2 = \\ &\quad = 2,94 \text{ kgcm s}^2\end{aligned}$$

Moment setrvačnosti motoru Θ_1 :

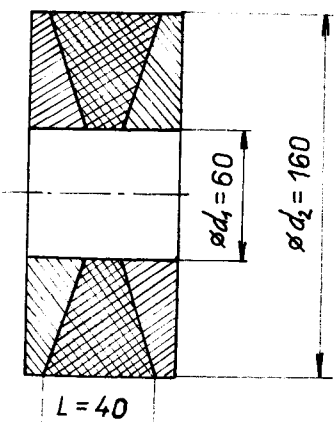
$$\Theta_1 = 3,6 + 61 + 0,25 \doteq 65 \text{ kgcm s}^2$$

Moment setrvačnosti dmychadla Θ_2 :

$$\Theta_2 = \Theta_{dr} = 2,94 \text{ kgcm s}^2$$

6.20 Torzní tuhost spojky

Po předběžném výpočtu byla navržena pryžová spojka typu a rozměrů dle náčrtu. Spojka je zhotovena z pryže tvrdosti 50° Sch.



obr.12

Tuhost této spojky se vypočítá ze vztahu:

$$c_{st} = \frac{\pi E (d_2^4 - d_2 d_1^3)}{72L} = \frac{\pi \cdot 24 (16^4 - 16 \cdot 6^3)}{72 \cdot 4} = \\ = 14500 \text{ kgcm/rad}$$

Toto je tzv. statická tuhost. Jestliže je spojka namáhána dynamickými silami, opravuje se vypočtená statická tuhost opravným součinitelem k_d . Opravný součinitel k_d je větší než 1 a roste s velikostí tlumení pryže a velikostí modulu pružnosti $E / \text{kp/cm}^2$. Pro normální pryž bez podstatného tlumení o tvrdosti $45 - 55^{\circ}$ Sch je velikost opravného součinitela k_d rovna $1,1 - 1,4$. Velikost modulu pružnosti E v závislosti na tvrdosti pryže byla odečtena z grafu v článku ing. Oktavce: Pružné spojky pístových strojů v časopise -Strojírenství-, roč. 1957, č. 7. Pro pryž tvrdosti 50° Sch je $E = 24 \text{ kp/cm}^2$.

Dynamická tuhost:

$$c_d = 1,2 \cdot c_{st} = 1,2 \cdot 14500 = 17400 \text{ kgcm/rad}$$

Dynamická tuhost redukovaná na klikový hřídel:

$$c = c_d \cdot p^2 = 17400 \cdot 1,74^2 = 53000 \text{ kgcm/rad}$$

6.30 Vlastní kmitání soustavy

Pro frekvenci vlastních jednouzlových kmitů dvouhmoté soustavy můžeme psát:

$$N = \frac{30}{\pi} \sqrt{c \left(\frac{1}{\theta_1} + \frac{1}{\theta_2} \right)} = \frac{30}{\pi} \sqrt{5,3 \cdot 10^4 \left(\frac{1}{65} + \frac{1}{2,94} \right)} = \\ = \underline{\underline{1310 \text{ 1/min}}}$$

6.40 Vynucené kmitání

V případě náhonu dmychadla budeme rozlišovat 2 druhy vynuceného kmitání.

- 1) Vynucené kmitání ze strany motoru, způsobené harmonickou složkou momentu M_α .
- 2) Vynucené kmitání ze strany dmychadla, způsobené harmonickou složkou momentu M_{α_d} vznikající na tříkrídlem rotoru dmychadla.

6.41 Přehled základních vztahů potřebných k výpočtu vynuceného kmitání dvouhmotné soustavy s pružnou spojkou:

Pro výpočet tohoto namáhání předpokládejme, že soustrojí rotuje úhlovou rychlosťí ω a že na hmotný kotouč θ_1 působí kroutící moment, skládající se ze střední složky M_0 , ne kterou se superponuje harmonická složka M_α řádu α , t.j.

s frekvencí $\alpha \cdot n$ (opakuje se sinusově α -kráte za otáčku) a amplitudou $M_{o\alpha}$.

$$M_{\alpha} = M_{o\alpha} \cdot \sin \alpha \omega t \quad (1)$$

Spojka je jednak namáhána středním kroutícím momentem M_o , jednak je působením harmonické složky M_{α} rozkmitávána a do spojky se tak vnáší přídavný moment M_A . Je tedy celkový kroutící moment přenášený spojkou.

$$M_s = M_o + M_A \quad (2)$$

Torzní kmitání soustavy vypočteme z pohybových rovnic:

$$\theta_1 \ddot{\varphi}_1 + k\dot{\varphi} + c\varphi = M_{o\alpha} \cdot \sin \alpha \omega t \quad (3)$$

$$\theta_2 \ddot{\varphi}_2 - k\dot{\varphi} - c\varphi = 0$$

$$\text{kde } \dot{\varphi} = \dot{\varphi}_1 - \dot{\varphi}_2$$

$$\varphi = \varphi_1 - \varphi_2$$

$\varphi_1 / \text{rad} /$ - úhlová výhylka hmoty θ_1

$\varphi_2 / \text{rad} /$ - úhlová výhylka hmoty θ_2

Násobením první rovnice θ_2 , druhé rovnice θ_1 , odečtením druhé rovnice od první a po úpravě dostaneme:

$$\frac{\theta_1 \theta_2}{\theta_2 + \theta_1} \cdot (\ddot{\varphi}_1 - \ddot{\varphi}_2) + k\dot{\varphi} + c\varphi =$$

$$= \frac{M_{o\alpha}}{1 + \frac{\theta_1}{\theta_2}} \sin \alpha \omega t$$

zavedením $\frac{\theta_1}{\theta_2} = \mu$; $\frac{\theta_1 \theta_2}{\theta_1 + \theta_2} = \frac{\theta_1}{1 + \mu} = \Theta \text{ red}$

obdržíme vztah:

$$\Theta \text{ red } \ddot{\varphi} + k \dot{\varphi} + c \varphi = \frac{M_0 \alpha}{1 + \mu} \sin \alpha \omega t \quad (4)$$

V řešení této diferenciální rovnice se omezíme jen na zjištění vynáčených kmitů, neboť vlastní kmitání dané obecným integrálem rovnice (4) rychle zaniká vlivem tlumení. Vynucené kmitání je pak dáno partikulárním integrálem této rovnice.

$$\varphi = A \cdot \sin (\alpha \omega t - \psi) \quad (5)$$

V tomto vztahu značí integrační konstanty A, amplitudu vynuceného kmitání a jejeho fázové posunutí vůči budícímu momentu. Pro tyto konstanty lze odvodit:

$$\frac{A}{A_{st}} = \frac{1}{1 + \mu} \cdot \frac{1}{\sqrt{(1 - \eta^2)^2 + (2\gamma\eta)^2}} \quad (6)$$

$$\tan \psi = \frac{2\gamma\eta}{1 - \eta^2} \quad (7)$$

Ve vztazích (6), (7) byly zavedeny tyto bezrozměrné součinitely:

$$\eta = \frac{\alpha \cdot \omega}{\Omega} = \frac{\alpha \cdot N}{N} - \text{stupen rozladení, daný}$$

poměrem frekvence vynuceného kmitání k frekvenci vlastního kmitání soustavy N.

$$\gamma = \frac{k}{k_{kr}} = \frac{k}{2\Theta_{red} \cdot \Omega} - \text{poměrný útlum daný po-}$$

měrem skutečného útlumu ke kritickému.

$\frac{A}{A_{st}}$ - poměrné nakroucení spojky, dané poměrem skutečné torzní amplitudy ke statickému nakroucení momentem $M_0\alpha$, daného vztahem:

$$A_{st} = \frac{M_0\alpha}{c} = \frac{M_0\alpha}{\Theta_{red} \cdot \Omega^2} \quad (8)$$

Namáhání spojky způsobené vnějším (budícím) momentem M_α se skládá z namáhání elasticím kroužicím momentem M_{el} a z namáhání tlumícím momentem M_T , který je vůči elasticímu momentu fázově posunut o 90° . Amplitudy těchto momentů jsou:

$$M_{el} = c A \quad M_T = k(\alpha \cdot \omega)A \quad (9)$$

Výsledný moment namáhající spojky je

$$M_A = \sqrt{M_{el}^2 + M_T^2} = M_0\alpha \cdot \frac{1}{1+\mu} \xi \quad (10)$$

Ve vztahu (10) značí $M_0\alpha \cdot \frac{1}{1+\mu}$ moment přenášený do tuhé spojky ($\Omega \rightarrow \infty$; $\gamma = 0$) potřebný pro urychlení kotouče Θ_2 . Velikost momentu přenášeného do pružné spojky je charakterizován nakmitávacím součinitelem

$$\xi = \sqrt{\frac{1 + (2\gamma\eta)^2}{(1 - \eta^2)^2 + (2\gamma\eta)^2}} \quad (11)$$

V rezonanci (pro $\eta = 1$), t.j. při kritických otáčkách nabývá součinitel ξ maximálních hodnot:

$$\xi_{max} = \sqrt{1 + \left(\frac{1}{2\gamma}\right)^2} \quad (12)$$

Protože poměrný útlum spojek γ má zřídka větší hodnotu než 0,1, lze přibližně položit

$$\xi_{max} \doteq \frac{1}{2\gamma}$$

Pružná spojka je výhodnější než tuhá spojka jen tehdy, je-li nakmitávací součinitel $\xi < 1$. Toho se dosáhne dostatečnou pružností spojky.

6.42 Vynucené kmitání ze strany motoru

Údaje motoru potřebné k výpočtu:

Jedná se o dvoudobý naftový osmiválec do V s úhlem rozevření 90° , úhel pootočení klik 180° , vrtání x zdvih = 130×130 , střední indikovaný tlak $p_i = 5,5 \text{ kp/cm}^2$.

Budící moment, způsobující vynucené kmitání soustavy dostaneme ze vztahu:

$$M_B = M_{\alpha=4} = z \cdot p_\alpha \cdot F \cdot r$$

kde z - počet válců; $z = 8$

α - řád hlavní harmonické složky; $\alpha = 4$

p_α - výsledný měrný tlak harmonické složky řádu α (z grafu VÚNM je pro $p_i = 5,5 \text{ kp/cm}^2$ $p_\alpha = 2,4$)

F - plocha pístu

r - poloměr kliky

$$M_B = 8 \cdot 2,4 \cdot 133 \cdot 6,5 = 16600 \text{ kp cm}$$

a) Dynamický moment vnášený do spojky v provozní oblasti.

Hodnoty pro výpočet:

$$n_{\text{provoz}} \doteq 75\% \quad n_{\text{max}} = 1400 \text{ ot/min}$$

$$\text{kritické otáčky } n_{\text{kr}} = n_{\text{res}} = \frac{N}{\alpha} = \frac{1310}{4} = 325 \text{ ot/min}$$

nakmitávací součinitel:

$$\xi \doteq \frac{1}{1 - \left(\frac{n}{n_{\text{res}}} \right)^2} = \frac{1}{1 - \left(\frac{1400}{325} \right)^2} = 0,057$$

Dynamický moment vnášený do spojky:

$$M_A = \pm M_\alpha \frac{\theta_2}{\theta_1 + \theta_2} \cdot \xi = \pm 16600 \frac{2,94}{65+2,94} \cdot 0,057 = \\ = \underline{\pm 42 \text{ kpem}}$$

b) Dynamický moment vnášený do spojky při resonanci:

Nakmitávací součinitel nabývá při resonanci

této hodnoty:

$$\xi_{res} \doteq \frac{1}{2\gamma} = \frac{1}{2 \cdot 0,05} = 10$$

Pro použitou pryž je poměrný útlum $\gamma \doteq 0,05$

$$M_{A_r} = \pm M_\alpha \frac{\theta_2}{\theta_1 + \theta_2} \cdot \xi_{res} = \pm 16600 \frac{2,94}{65+2,94} \cdot 10 = \\ = 7200 \text{ kpem}$$

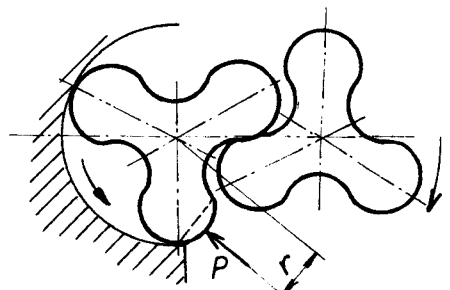
Protože kritické otáčky leží hluboko pod provozními otáčkami, jsou rychle překročeny a tudíž jimi není životnost spojky ohrožena.

6.43 Vynucené kmitání ze strany dmychadla

Rotory dmychadla jsou tříkrídlové a tudíž budící moment hlavní harmonické složky bude řádu $\alpha = 3$. Kritické otáčky pro toto kmitání:

$$n_{kr} = \frac{N}{\alpha} = \frac{1310}{3} = 435 \text{ l/min}$$

Budící moment bude dosahovat maximální hodnoty při této poloze rotorů:



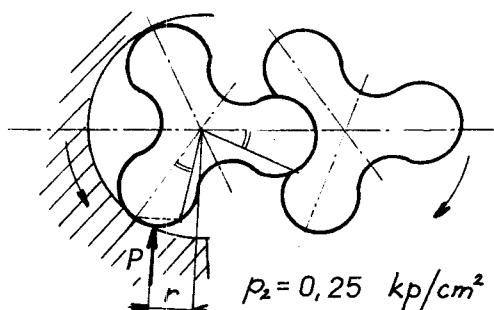
$$p_2 = 0,25 \text{ kp/cm}^2$$

$$M_{\max} = P \cdot r = F \cdot p_2 \cdot r = 7,2 \cdot 38 \cdot 0,25 \cdot 6,3 = 430 \text{ kp cm}$$

kde F - plocha, na kterou působí přetlak p_2

r - rameno, na němž působí výsledná síla

Minimální hodnoty bude nabývat při této poloze rotoru:



$$M_{\min} = P \cdot r = F \cdot p_2 \cdot r = 3 \cdot 38 \cdot 0,25 \cdot 4,5 = 128 \text{ kp cm}$$

Amplituda budícího momentu bude:

$$M_B = \frac{430 - 128}{2} \doteq 100 \text{ kp cm}$$

Ve skutečnosti jsou vstupní i výstupní průřezy u dmychadla šikmé, bude proto tento budící moment menší. Pro nejnádajné zjištění tohoto momentu budu však počítat s výše uvedeným.

a) Dynamický moment vnášený do spojky v provozní oblasti; spočítaný M_B musíme redukovat na kličkový hřídel, tedy

$$M_B = M_{zd} = 100 \cdot 1,74 = 174 \text{ kp cm}$$

Nakmitávací součinitel:

$$\xi = \frac{1}{1 - \left(\frac{n}{n_{res}}\right)^2} = \frac{1}{1 - \left(\frac{1400}{435}\right)^2} = 0,109$$

Dynamický moment vnášený do spojky:

$$M_a = \pm M_{ad} \cdot \frac{\theta_1}{\theta_2 + \theta_1} \cdot \xi = 174 \frac{65}{65+2,94} \cdot 0,109 = 18 \text{ kpcm}$$

b) Dynamický moment vnášený do spojky při rezonanci:

$$M_{a_r} = \pm M_{ad} \cdot \frac{\theta_1}{\theta_2 + \theta_1} \cdot \xi_{res} = 174 \frac{65}{65+2,94} \cdot 10 = \\ = 1680 \text{ kpcm}$$

6.50 Namáhání spojky

a) Provozní oblast

Jak už bylo dříve uvedeno je spojka namáhána jednak jmenovitým kroutícím momentem M_o , jednak dynamickým momentem M_{AC} , vznikajícího kmitáním,

$$\text{kde } M_o = 71620 \frac{N}{n} = 71620 \frac{30}{3135} = 690 \text{ kpcm}$$

M_{AC} bude v nejpříznivějším případě dán algebraickým součtem momentů M_A (moment vnášený do spojky budícím momentem motoru) a M_a (moment vnášený do spojky budícím momentem rotoru dmychadla), tedy

$$M_{AC} = \frac{M_A + M_a}{p} = \frac{42+18}{1,740} = 35 \text{ kp/cm}^2$$

Smykové namáhání pryžové části (vnější $\varnothing D = 160$ a vnitřní $\varnothing d = 60 \text{ mm}$) spojky od jmenovitého momentu M_o :

$$\tau_o = \frac{12 M_o}{\pi(D^3 - d^3)} = \frac{12 \cdot 690}{\pi(16^3 - 6^3)} = 0,685 \text{ kp/cm}^2$$

Smykové namáhání pryže spojky od dynamického momentu M_{AC} :

$$\tau_A = \frac{12 \cdot 35}{\pi(16^3 - 6^3)} = 0,035 \text{ kp/cm}^2$$

b) Namáhání spojky při resonanci.

Maximální namáhání spojky je při přejíždění kritických otáček 325 ot/min, kdy je do spojky vnášen dynamický moment $M_{Ar} = 7200 \text{ kp cm}$. Toto je moment redukovaný na klikový hřídel; moment působící v ose dmychadla:

$$M_{Ar} = \frac{7200}{1,740} = 4150 \text{ kp cm}$$

Smykové namáhání spojky při tomto režimu:

$$\tau_{kr} = \pm \frac{12 M_k}{\pi(d_2^3 - d_1^3)} = \frac{12 \cdot 4150}{\pi(16^3 - 6^3)} = 4,1 \text{ kp/cm}^2$$

Dovolené namáhání v krutu pro danou pryž je 5 - 8 kp/cm^2 , není tedy překročeno ani za resonance.

7.00 ZHODNOCENÍ PRÁCE

Charakteristiky a návrh dmychadla.

Instalace dmychadla a měření charakteristik zaujímalo podstatnou část časového termínu diplomové práce. Jak už bylo uvedeno v úvodu, charakteristiky byly měřeny na dmychadle pro motor Škoda D 160 vyráběném v ČKD Hořovice. Měření mělo sloužit:

- 1) k získání poznatků o Rootsově dmychadle
- 2) k zjištění, zda tohoto dmychadla by nebylo možno použít k motoru, jehož parametry byly zadány, popřípadě k získání podkladů pro návrh nového dmychadla.

Naměřené charakteristiky ukázaly, že použití tohoto dmychadla není možné, protože nasává menší množství vzduchu než je potřeba pro daný motor. Dalo by se ho použít jedině při vysokých otáčkách (asi 5000 otáček/min) a to vzhledem k obvodovým rychlostem není možné.

Musel být proto proveden návrh nového (většího) dmychadla. Správný návrh dmychadla je závislý na volbě jeho účinnosti. Největší vliv na parametry dmychadla má, jak je patrno z literatury a jak se ukázalo při vlastním měření, objemová účinnost, která je závislá na ztrátách netěsností v dmychadle. Problematika Rootsova dmychadla není v literatuře dostatečně rozvedena a proto byla zavedena definice objemové účinnosti dle charakteru tématu. Pro navrhované dmychadlo bylo vycházeno z objemové účinnosti porovnávacího dmychadla, jen byla volena o málo nižší vzhledem k větším rozměrům.

Náhon dmychadla.

Při volbě náhonu dmychadla jsem se rozhodoval mezi pohonem klinovými řemeny a ozubenými koly, jak je uvedeno v kapitole 4. Pohon ozubenými koly jsem považoval pro daný případ za výhodnější, ovšem tím úplně nazavrhují pohon řemeny. Ten je pro malé výkony pro svou jednoduchost velmi výhodný. Při použití více řemenů, které by byly potřeba jak vyplývá z výpočtu, mohla by velká setrvačná hmota řemenice mít vliv na vlastní kmitání klikového hřídele, což by mohlo způsobit výskyt resonančních kmitů v provozní oblasti. Pak by mezi klikovým hřídelem a touto řemenicí musel být použit pružný člen. Tímto směrem by se však daný problém dal také řešit.

Navrženými ozubenými koly byl potřebný převodový poměr mezi motorem a dmychadlem 1,735 zvětšen na 1,740, což činí zvýšení otáček dmychadla z požadovaných 3120 ot/min na 3135 ot/min. Tato hodnota je v přípustných mezích.

Kontrola spojovacího hřídele mezi náhonem a dmychadlem není ve zprávě uvedena, protože nemáhání jak od jmenovitého tak od kmitavého momentu jsou velmi malá.

Nerovnoměrnost chodu.

V souvislosti s měřením charakteristik měla být podle zadání diplomové práce měřena nerovnoměrnost chodu dmychadla. Protože byl k dispozici jen snímač s příliš malou citlivostí, bylo od tohoto měření po dohodě s vedoucím diplomové práce upuštěno a nerovnoměrnost chodu byla zjištována početně. I v případě, kdyby toto měření bylo prováděno, byla by tak zjištěna pouze nerovnoměrnost chodu vlastního dmy-

chadla a torzní kmitání soustavy motor-dmychadlo muselo by být stejně provedeno početně.

Výpočet budícího momentu vznikajícího na hnacím rotoru dmychadla od přetlaku p_2 byl proveden graficky. Ve zprávě jsou uvedeny jen schematické obrázky a výsledné hodnoty plochy F a ramena r. Z výpočtu vyplynulo, že tento moment je vzhledem k budícímu momentu motoru malý a uvažujeme-li ještě, že ve skutečnosti jsou vstupní a výstupní otvory dmychadla šikmé, bylo by možno tento dynamický moment zanedbat.

Hlavním problémem náhonu dmychadla bylo navrhnut pružnou spojku tak, aby se v provozní oblasti nevyskytly resonanční otáčky a přitom namáhání spojky bylo v dovolených mezích. Při použití navržené spojky se resonanční kmity způsobené hlavní harmonickou složkou budícího momentu motoru $\omega = 4$ v provozní oblasti nebudou vyskytovat ($n_{res} = 325 \text{ ot/min}$), takže v náhonu budou při provozních otáčkách jen slabé resonance harmonických složek vedlejších řádů, které nebudou mít vliv na životnost spojky.

Dynamické namáhání pryžové části spojky bude malé ($T_A = 0,035 \text{ kp/cm}^2$). Pro srovnání je smykové namáhání spojky od jmenovitého kroutícího momentu $T_0 = 0,685 \text{ kp/cm}^2$. Dovolené namáhání pryže není překročeno ani při resonančních otáčkách, kdy $T_{kr} = 4,1 \text{ kp/cm}^2$.

Početní metoda pro výpočet torzních kmítů soustavy motor-spojka-dmychadlo je sice poměrně přesná, ovšem pro ověření výsledků bylo

potřeba provést měření na motoru s dmychadlem.
Pak závěry takto vytvořené budou mít širší podklad.

Na závěr bych chtěl poděkovat všem, kteří mi při mé diplomové práci s ochotou pomáhali, především panu ing. L. Bartoníčkovi a panu ing. Oktavcovi.

Bašek

8.00 SEZNAM POUŽITÉ LITERATURY

Prof.ing.J.Koštál a Ing.B.Suk:

Pístové spalovací motory

Ing.R.Vykoukal:

Dvoudobé motory vozidlové

Ing.M.Zapletal:

Přeplňování naftových motorů

Ing.V.Chlumský:

Rotační kompresory a vývěvy

Ing.Oktavec a Ing.Trnka:

Pružné spojky pístových strojů

(Strojírenství 1954, sv.4, č.7)

T A B U L K A

list 1

otáčky :

600 [ot/min]

P_2	P_1	Q_1	Q_{1id}	M_k	N	η_v
mm H ₂ O	mm H ₂ O	m ³ /min	m ³ /min	kpm	k	
500	5	3,08	4,75	0,6	0,55	0,65
1000	4	2,59	4,75	1,4	1,18	0,55
1500	3	2,11	4,75	1,9	1,59	0,44
2000	3	1,62	4,75	2,5	2,16	0,34
2500	2	1,13	4,75	3,4	2,85	0,24
3000	1	0,97	4,75	3,7	3,12	0,20
4000	0	0,41	4,75	4,9	4,10	0,086

800 [ot/min]

500	7	4,54	6,34	0,8	0,89	0,71
1000	7	4,05	6,34	1,4	1,56	0,63
1500	7	3,40	6,34	2,0	2,23	0,54
2000	6	2,92	6,34	2,6	2,90	0,46
3000	5	2,18	6,34	3,8	4,25	0,34
4000	3	1,46	6,34	4,9	5,45	0,23

T A B U L K A

list 2

otáčky :

1000 [ot/min]

p_2	p_1	Q_1	$Q_{1\text{ id}}$	M_k	N	η_v
mm H ₂ C	mm H ₂ O	m ³ /min	m ³ /min	kpm	k	
500	12	6,00	7,93	0,7	0,98	0,75
1000	10	5,51	7,93	1,4	1,95	0,68
1500	9	4,86	7,93			0,61
2000	8	4,37	7,93	2,6	3,63	0,55
3000	6	3,56	7,93	3,9	5,45	0,45
4000	5	3,08	7,93	5,0	7,00	0,38

1200 [ot/min]

500	20	7,35	9,52	1,0	1,68	0,77
1000	18	6,96	9,52	1,5	2,50	0,73
1500	16	6,15	9,52	2,2	3,78	0,65
2000	15	5,84	9,52	2,7	4,52	0,61
3000	13	5,02	9,52	4,1	6,87	0,52
4000	8	4,37	9,52	5,0	8,40	0,46

T A B U L K A

list 3

otáčky:

1400 [ot/min]

P_2	P_1	Q_1	$Q_{1\text{ id}}$	M_k	N	η_v
mm H ₂ O	mm H ₂ O	m ³ /min	m ³ /min	kpm	k	
500	22	8,75	11,10	0,9	1,75	0,79
1000	19	8,19	11,10	1,5	2,93	0,74
1500	17	7,70	11,10			0,69
2000	15	7,12	11,10	2,7	5,28	0,64
3000	14	6,40	11,10	4,1	8,05	0,57
4000	11	5,68	11,10	5,2	10,20	0,52

1600 [ot/min]

500	25	10,05	12,69	1,2	2,68	0,80
1000	20	9,40	12,69	1,8	4,13	0,75
1500	18	8,92	12,69	2,5	5,70	0,71
2000	17	8,50	12,69	2,8	6,20	0,67
3000	15	7,78	12,69	4,0	8,95	0,61
4000	14	7,20	12,69	5,3	11,80	0,57

T A B U L K A

list 4

otáčky:

1800 [ot/min]

P_2	P_1	Q_1	Q_{1id}	M_k	N	η_v
mm H ₂ O	mm H ₂ O	m ³ /min	m ³ /min	kpm	k	
500	32	11,50	14,27	1,3	3,27	0,81
1000	27	10,85	14,27	1,6	4,05	0,765
1500	25	10,45	14,27	2,6	6,15	0,735
2000	25	10,00	14,27	2,8	7,10	0,70
3000	20	9,00	14,27	4,0	10,20	0,63
4000	17	8,58	14,27	5,2	13,10	0,60

2000 [ot/min]

500	47	12,90	15,85	1,3	3,63	0,815
1000	46	12,23	15,85	1,7	4,75	0,774
1500	43	11,80	15,85	2,6	7,25	0,745
2000	41,5	11,40	15,85	3,0	8,36	0,720
3000	35	10,68	15,85	4,2	11,70	0,675
4000	25	9,88	15,85	5,4	15,10	0,624

T A B U L K A

list 5

otáčky:

2200 [ot/min]

p_2	p_1	Q_1	Q_{1id}	M_k	N	η_v
mm H ₂ O	mm H ₂ O	m ³ /min	m ³ /min	kpm	k	
500	59	14,25	17,41	1,4	4,30	0,818
1000	56	13,60	17,41	1,8	5,70	0,782
1500	52	13,12	17,41	2,6	8,00	0,754
2000	50	12,64	17,41	3,3	10,12	0,728
2500	47	12,15	17,41	3,9	12,00	0,700
3000	41	12,00	17,41	4,3	13,20	0,688

2400 [ot/min]

500	76	15,65	19,00	1,4	4,85	0,824
1000	70	15,00	19,00	1,8	6,86	0,790
1500	63	14,42	19,00	2,7	9,05	0,760
2000	58	14,00	19,00	3,4	11,38	0,738
2500	57	13,70	19,00	4,05	13,58	0,722

T A B U L K A

list 6

otáčky:

2600 [ot/min]

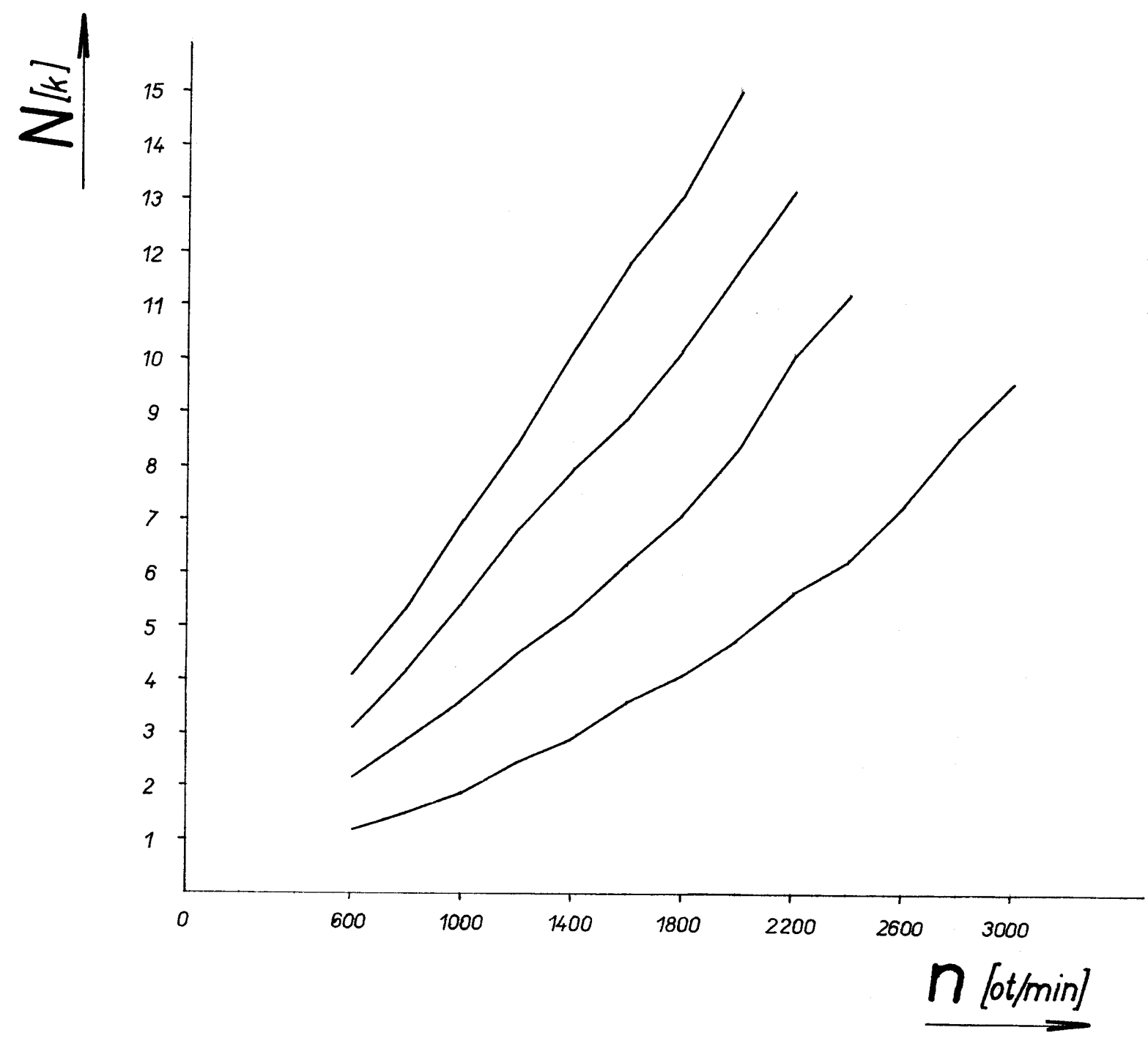
p_2	p_1	Q_1	Q_{1id}	M_k	N	η_v
mm H ₂ O	mm H ₂ O	m ³ /min	m ³ /min	kpm	k	
500	100	16,85	20,60	1,40	5,26	0,819
1000	92	16,35	20,60	2,00	7,27	0,795
1500	81	15,90	20,60	2,50	9,25	0,772
2000	75	15,38	20,60	3,05	11,10	0,747

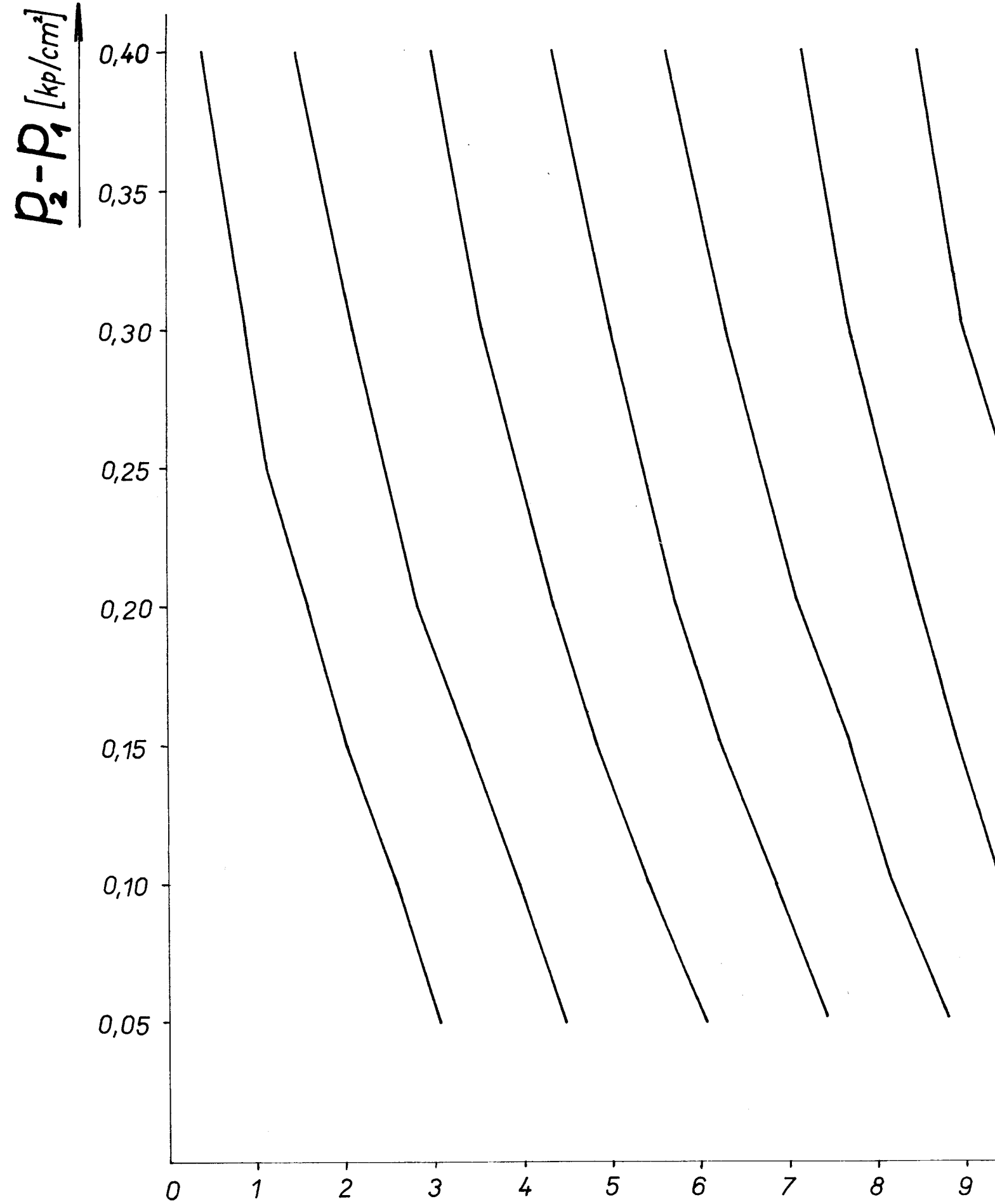
2800 [ot/min]

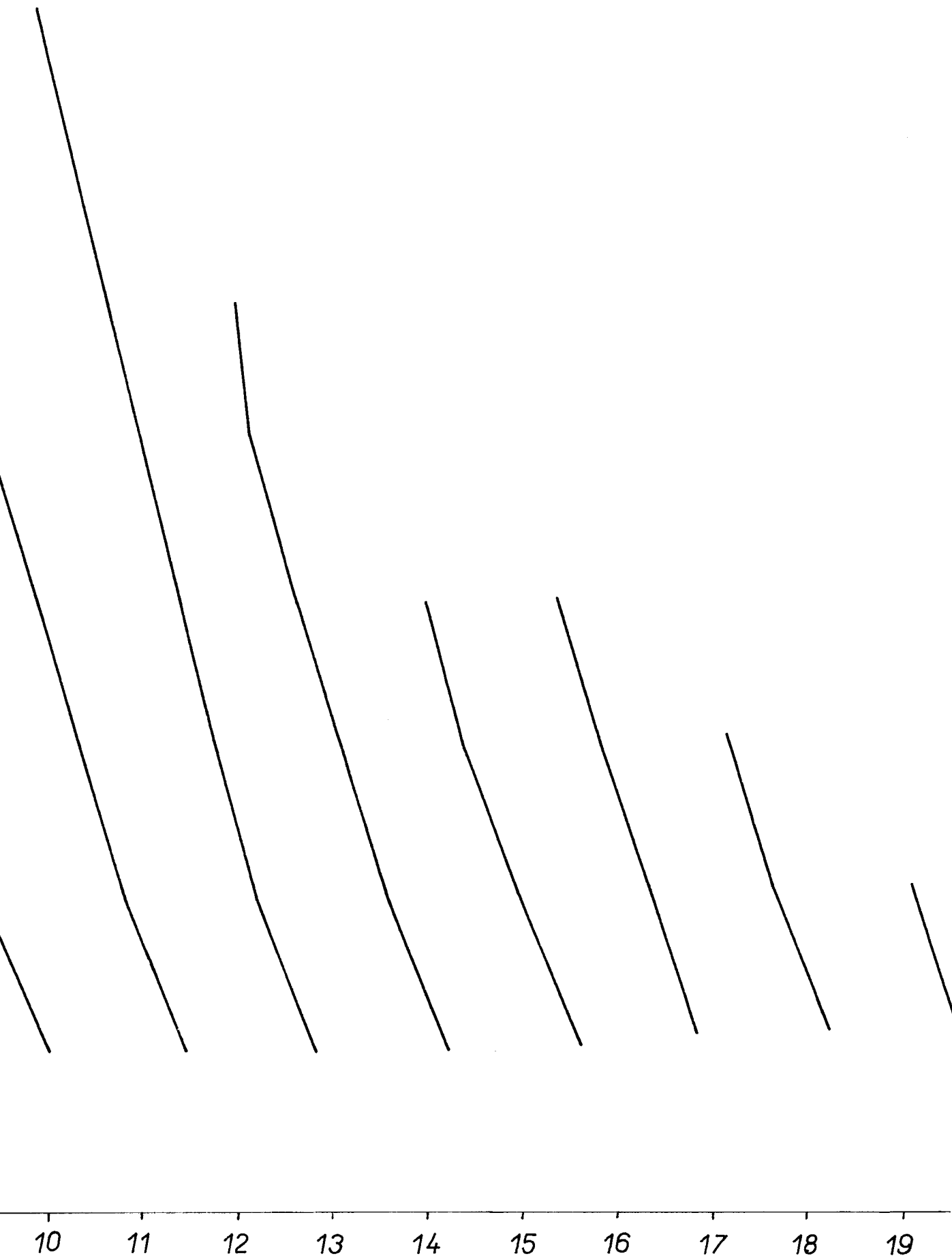
500	120	18,25	22,19	1,7	6,65	0,825
1000	120	17,65	22,19	2,2	8,60	0,797
1500	115	17,16	22,19	2,8	11,15	0,774

3000 [ot/min]

500	120	19,60	23,80	1,8	7,55	0,825
1000	115	19,12	23,80	2,3	9,65	0,807







$Q, [m^3/min]$

kusovník

List 1.

1	Těleso dmychadla	odlitek	42 4331.70							1
2	Mezistěna	odlitek	42 4331.70							2
1	Víko přední	odlitek	42 4331.70							3
1	Víko zadní	odlitek	42 4331.70							4
1	Rotor hnany Ø 230	odlitek	42 4331.70							5
1	Rotor hnací Ø 230	odlitek	42 4331.70					DP-VS-11/69-01 11		6
1	Hřídel hnany	ČSN 42 5510	11 600.0							7
1	Hřídel hnací	ČSN 42 5510	11 600.0				DP-VS-11/69-01 11			8
1	Hnané kolo Ø 157,4	výkovek	12 020.4	12 020.0						9
1	Hnací kolo Ø 157,4	výkovek	12 020.4	12 020.0						10
1	Unašeč dmychadla Ø 110	ČSN 42 5510	11 600.0							11
4	Pouzdro ložiska Ø 122	ČSN 42 5510	11 600.0							12
4	Distanční kroužek Ø 63	ČSN 42 5510	11 370.0							13
4	Příložka Ø 120	ČSN 42 5510	11 370.0							14
4	Distanční kroužek Ø 60	ČSN 42 5510	11 370.0							15
1	Rozstřikovací kroužek Ø 150	ČSN 42 0118	10 373.0							16
1	Příložka Ø 60	ČSN 42 5510	11 370.0							17
1	Distanční kroužek Ø 60	ČSN 42 5510	11 373.0							18
4	Ložisko 6208	ČSN 02 4636								19

Počet kusů	Název	Rozměr h.	Mater. koncový	Mater. výchozí	Nač. odprad.	C. vaha	Nač. výkres	Číslo výkresu	Pos.
------------	-------	-----------	----------------	----------------	--------------	---------	-------------	---------------	------

Poznámky				Celkové čisté váha kg					
Mater. h.	číslo	X. Barvík	číslo výkresu						
	číslo výkresu								
	číslo výkresu								
	číslo výkresu								
	číslo výkresu								
Doba: 10.VII.69				Z					

Typ	Skupina	Souř. výkres	Nový výkres
		Název	
	ROOTSOVO DMYCHADLO		DP-VS-11/69-01 10

Kusovník

Počet kusů	Název	Kategorie	Mater. konstruk.	Mater. výroby	Trhová cena	C. vaha	Hr. vaha	Celková výroba	Poz.
1	Blok motoru								1
1	Dmychadlo				DP-VS-11/69-01 10				2
1	Klikový hřídel								3
1	Setrvačník								4
1	Ozubený věnec Ø 182,1	výkovek	12 020.4	12 020.0					5
1	Mezikolo Ø 160,6	výkovek	12 020.4	12 020.0					6
1	Mezikolo Ø 158	výkovek	12 020.4	12 020.0					7
1	Hnací kolo Ø 104,4	výkovek	12 020.4	12 020.0					8
1	Spojovací hřídel Ø 35	ČSN 42 5510	11 600.0						9
2	Čep Ø 35	ČSN 42 5510	11 600.0						10
1	Kotouč spojky Ø 160	ČSN 62 2225	Pryž-tvrdost 50°Sh						11
1	Příruba Ø 60	ČSN 42 5510	11 600.0						12
1	Víko	odlitek	42 2418						13
1	Vana								14
1	Těsnící kroužek Ø 160	odlitek	42 2418						15
1	Odstřikovací kroužek	ČSN 42 0118	10 370.0						16
2	Distanční kroužek Ø 35	ČSN 42 5715	11 350.0						17
1	Distanční kroužek Ø 35	ČSN 42 5715	11 350.0						18
1	Distanční kroužek Ø 35	ČSN 42 5715	11 350.0						19

Poznámky

Měřítko	Kreslil	X. Bařek	Čís. misku	Celkové čisté váha kg				
	Projektant							
	Technik							
	Stupeň provedení							
	Technik							
	Datum	10.VII.69						

Skupina
NÁHON DMYCHADLA

DP-VS-11/69-01 00

1	Distanční kroužek Ø 35	ČSN 02 2931	20
1	Kroužek Ø 240	ČSN 02 2931	21
1	Kroužek Ø 80	ČSN 02 2931	22
4	Kroužek Ø 72	ČSN 02 2930	23
3	Kroužek Ø 35	ČSN 02 1701	24
1	Podložka 21		25
	Ložisko klik. hřídele		26
1	Ložisko 6208	ČSN 02 4636	27
4	Ložisko 7207	ČSN 02 4644	28
1	Ložisko 6207	ČSN 02 4636	29
1	Těsnící kroužek Ø 80x48x13		30
12	Šroub ■ 10x20	ČSN 02 1101	31
12	Podložka 10,2	ČSN 02 1740	32

K u s o v n í k

List 2.

1	Distanční kroužek Ø 35	ČSN 42 5715	11 350.0							20
1	Kroužek Ø 240	ČSN 02 2931								21
1	Kroužek Ø 80	ČSN 02 2931								22
4	Kroužek Ø 72	ČSN 02 2931								23
3	Kroužek Ø 35	ČSN 02 2930								24
1	Podložka 21	ČSN 02 1701								25
	Ložisko klik. hřídele									26
1	Ložisko 6208	ČSN 02 4636								27
4	Ložisko 7207	ČSN 02 4644								28
1	Ložisko 6207	ČSN 02 4636								29
1	Těsnící kroužek Ø 80x48x13									30
12	Šroub M 10x20	ČSN 02 1101								31
12	Podložka 10,2	ČSN 02 1740								32
26	Šroub M 8x90	ČSN 02 1101								33
26	Podložka 8,2	ČSN 02 1740								34
12	Šroub M 6x15	ČSN 02 1101								35
12	Podložka 6,1	ČSN 02 1740								36
6	Maticce M 18	ČSN 02 1401								37
6	Podložka Ø 18	ČSN 42 0118	10 370							38

Počet kusů	Název	Rozměr hr.	Mater. konečný	Mater. výhodí	Prídej.	C. výhodí	Ulož. výhodí	Číslo výkresu	Druh
------------	-------	------------	----------------	---------------	---------	-----------	--------------	---------------	------

Dodatečky				Celková čistá výška ka						
Materiál	Vlákno	X. Baich	C. výhodí							
	Stříbrný									
	Aluminiový									
	Bronzový									
	Černý pravý									
10.VII.69										

Typ	Skupina	Starý výkres	Newý výkres
		Název	
NÁHON DMYCHADLA		DP-VS-11/69-01 00	
Počet kusů		List 1	

